



รายงานวิจัยฉบับสมบูรณ์

โครงการวิจัย

การพัฒนาอุปกรณ์ควบคุมคุณภาพระบบเลเซอร์ภายในห้องฉายรังสี

Development of a laser QA tool for Laser system in a Linear accelerator room.

โดย

อาจารย์กฤชณ์ อุทาพรน

มหาวิทยาลัยรังสิต Rangsit University

สนับสนุนโดย

สถาบันวิจัย มหาวิทยาลัยรังสิต

2563

บทคัดย่อ

ชื่อเรื่อง : การพัฒนาอุปกรณ์ควบคุมคุณภาพระบบเลเซอร์ภายในห้องฉายรังสี
ผู้วิจัย : นายกฤชณ์ อุทาพร, นายชนพัฒน์ ช่องสาร, นายศิวพล หมันสิงห์
สถานที่ : คณะรังสีเทคนิค มหาวิทยาลัยรังสิต
ปีที่พิมพ์ : 2565
สถานที่พิมพ์ : มหาวิทยาลัยรังสิต
แผ่นงบประมาณการวิจัยฉบับสมบูรณ์ : มหาวิทยาลัยรังสิต
จำนวนหน้างานวิจัย : 31 หน้า
คำสำคัญ : รังสีรักษา การควบคุมคุณภาพระบบเลเซอร์ การพิมพ์สามมิติ
ลิขสิทธิ์ : มหาวิทยาลัยรังสิต

บทคัดย่อ

รายงานวิจัยเรื่องพัฒนาอุปกรณ์ควบคุมคุณภาพระบบเลเซอร์เพื่อการจัดตั้งตำแหน่งของผู้ป่วย สำหรับเครื่องเร่งอนุภาคทางการแพทย์ เป็นการพัฒนาให้อุปกรณ์ดังกล่าวสามารถจัดตั้งตำแหน่งได้ง่าย ขึ้นและลดเวลาในการทำงานที่เกี่ยวข้องกับการควบคุมคุณภาพเครื่องเร่งอนุภาคทางการแพทย์

การออกแบบอุปกรณ์ควบคุมคุณภาพเลเซอร์ภายในห้องฉายรังสีถูกแบ่งเป็น 2 ส่วนคือ ฐานที่สามารถปรับสมดุลได้และส่วนทดสอบ การสร้างชิ้นงานผลิตขึ้นโดยใช้การพิมพ์สามมิติด้วยเส้นพลาสติกชนิด PLA และ ABS จากนั้นทดสอบคุณสมบัติเบื้องต้น ได้แก่ ความถูกต้องของการพิมพ์สามมิติและความสามารถในการซัดเชยพื้นที่น้ำ ทดสอบคุณสมบัติในการใช้งาน ได้แก่ ความสามารถในการจัดตั้งตำแหน่งชี้ ความถูกต้องในการจัดตั้งตำแหน่งและวิเคราะห์ประสิทธิภาพของการทำงานจากเวลาที่ใช้ในการจัดตั้งตำแหน่งอุปกรณ์ พบร่วมกับอุปกรณ์ควบคุมคุณภาพระบบเลเซอร์ที่พัฒนาในงานวิจัยนี้ มีความสามารถซัดเชยพื้นที่น้ำได้อย่างไม่มีนัยสำคัญทางสถิติ โดยสามารถซัดเชยความเอียงของอุปกรณ์ที่เกิดจากการวางบนพื้นลาดเอียง 2 องศา ให้เหลือความลาดเอียงน้อยกว่า 0.0015 องศา มีความสามารถในการจัดตั้งตำแหน่งชี้ โดยมีค่าส่วนเบี่ยงเบนมาตรฐานน้อยกว่า 0.3 ในทุก ๆ แนวการเคลื่อนที่ มีความถูกต้องในการจัดตั้งตำแหน่งไปยังจุดหมุนร่วมของเครื่องเร่งอนุภาคโดยมีความคลาดเคลื่อนน้อยกว่า 0.5 มิลลิเมตร และใช้เวลาในการจัดตั้งตำแหน่ง(ประสิทธิภาพ) โดยเฉลี่ยประมาณ 41.23 วินาที

อุปกรณ์ควบคุมคุณภาพเลเซอร์ภายในห้องฉายรังสีที่พัฒนาในงานวิจัยนี้ สามารถซัดเชยพื้นเอียงได้อย่างไม่มีนัยสำคัญทางสถิติและมีประสิทธิภาพในการใช้งาน ขณะที่ยังมีระดับความถูกต้องในการจัดตั้งตำแหน่งและความสามารถในการทำข้อยุ่นในระดับที่ยอมรับได้

Abstract

Title: Development of a laser QA tool for Laser system in a Linear accelerator room.

Researcher: Kitsana Utapom, Thanaphat Chongsan and Siwapon Munsing

Institution: faculty of Radiological Technology, Rangsit University

Year of Publication: 2022

Publisher: Rangsit University

Source: Rangsit University

No. of pages: 31 pages

Keywords: radiotherapy, QA of Laser system, 3D printing

Copyrights: Rangsit University

Abstract

The aim of this research was to develop laser QA tools for a linear accelerator. Easily set up and reducing QA time consumed but still have acceptable accuracy and reproducibility were goals of this research.

Developed laser QA tools designed were divided into 2 components as balancing bases and testing parts. Then they were printed as 3D objects by 3D printing with PLA and ABS filaments. Their size was measured. Slop compensation, set up accuracy, reproducibility, and efficiency were evaluated through CBCT by using Elekta versa HD linear accelerator with Hexapod 6D couch. Developed laser QA tools were non-significantly slop compensable however they were able to reduce testing part rotation set up on 2 degrees of couch slop to less than 0.0015 degrees. They were set up reproducibility with 0.3 of S.D. for all directions and highly set up accuracy with error less than 0.5 mm. while set up time consumed was 41.23 seconds, approximately.

Developed laser QA tools were set up time consume efficiently. however, its slope compensable hasn't succeeded significantly. While accuracy and reproducibility were acceptable.

กิตติกรรมประกาศ

គណន៍ជុំជ័យ

สารบัญ

	หน้า
บทคัดย่อภาษาไทย	ก
บทคัดย่อภาษาอังกฤษ	ข
กิตติกรรมประกาศ	ค
สารบัญ	ง
สารบัญตาราง	ด
สารบัญรูปภาพ	ฉ
สารบัญแผนภูมิ	ช
บทที่ 1 บทนำ	1
ความเป็นมาและความสำคัญของปัญหา	1
วัตถุประสงค์ของงานวิจัย	1
สมมติฐานของงานวิจัย	1
ขอบเขตของงานวิจัย	2
กรอบแนวคิดในงานวิจัย	2
นิยามศัพท์เฉพาะ	2
ประโยชน์ที่คาดว่าจะได้รับ	3
บทที่ 2 เอกสารและงานวิจัยที่เกี่ยวข้อง	4
บทที่ 3 วิธีดำเนินการวิจัย	11
เครื่องมือที่ใช้ในการวิจัย	11
การสร้างเครื่องมือที่ใช้ในการวิจัย	11
การเก็บรวบรวมข้อมูล	12
การวิเคราะห์ข้อมูล	13
บทที่ 4 ผลการทดลอง และอภิปรายผล	14
บทที่ 5 สรุป วิจารณ์ และข้อเสนอแนะ	21
สรุป	21
วิจารณ์	21
ข้อเสนอแนะ	23
เอกสารอ้างอิง	24
ประวัติผู้เขียน	26

สารบัญตาราง

ตารางที่	หน้า
1 แสดงคุณสมบัติของพลาสติกที่สามารถใช้กับเครื่องพิมพ์สามมิติรุ่น UP BOX+ ผลิตโดยบริษัท Tiertime(Rohringer, 2020)	7
2 ตารางแสดงค่าเฉลี่ยของศักยภาพอุปกรณ์ควบคุมคุณภาพเลเซอร์ภายในห้องฉายรังสี เมื่อถูกจัดวางบนพื้นเสียงที่ระดับต่าง ๆ	17
3 แสดงค่าส่วนเบี่ยงเบนมาตรฐานของ 3 แนวการเคลื่อนที่ จาก 2 วิธีการทดสอบความสามารถในการทำข้ามของการจัดอุปกรณ์ฯ	17
4 แสดงค่าเฉลี่ยของความคลาดเคลื่อนของการจัดตำแหน่งในแต่ละแนวการเคลื่อนที่	18



สารบัญรูป

ภาพที่	หน้า
1 กรอบแนวคิดในงานวิจัย	2
2 การใช้งานระบบเลเซอร์ในการจัดทำผู้ป่วย	4
3 แสดงความผิดพลาดเมื่อการติดตั้งเลเซอร์มีความผิดพลาดในแนวการหมุน ซึ่งแม้ว่าเลเซอร์จะตัดกันที่จุดกึ่งกลางการหมุนของเครื่องเร่งอนุภาคแต่อาจจะยังมีความผิดพลาดอยู่ได้และมีผลต่อการจัดตำแหน่งของผู้ป่วย	5
4 ภาพ RT ALIGN ROTATE	6
5 ภาพ ISO Cube™ Daily QA Phantom	7
6 เครื่องพิมพ์สามมิติ รุ่น UP BOX+ ผลิตโดยบริษัท Tiertime ของคณะรังสีเทคนิค มหาวิทยาลัยรังสิต	8
7 ตัวอย่างฐานพิมพ์ที่ใช้งานร่วมกับเครื่องพิมพ์สามมิติ รุ่น UP BOX+ ผลิตโดยบริษัท Tiertime	8
8 อุปกรณ์ตรวจสอบตำแหน่งเลเซอร์ที่ถูกออกแบบโดย Ivan A. Brezovich และ Stephen jordan (2550)(Brezovich & Jordan, 2007)	9
9 ต้นแบบของอุปกรณ์จัดตำแหน่งเลเซอร์: (a) แผนผังอุปกรณ์จัดตำแหน่งเลเซอร์ และ (b) รูปถ่ายของอุปกรณ์อุปกรณ์จัดตำแหน่งเลเซอร์ที่วางอยู่บนเตียงผู้ป่วย (Hwang et al., 2016)	10
10 การออกแบบส่วนฐานของอุปกรณ์ควบคุมคุณภาพเลเซอร์ด้วยโปรแกรม SketchUp	12
11 การออกแบบส่วนทดสอบของอุปกรณ์ควบคุมคุณภาพเลเซอร์ด้วยโปรแกรม SketchUp	12
12 อุปกรณ์ควบคุมคุณภาพเลเซอร์ภายในห้องฉายรังสีที่ถูกพัฒนาในงานวิจัยนี้โดยที่ในภาพ ก) คือส่วนทดสอบ และภาพ ข) คือส่วนฐาน	14
13 อุปกรณ์เสริมที่ใช้ร่วมกับควบคุมคุณภาพเลเซอร์ภายในห้องฉายรังสีที่ถูกพัฒนาในงานวิจัยนี้โดยที่ในภาพ ก) ลูกศรที่มีถ่วงน้ำหนักขนาด 200 กรัม และภาพ ข) คือตัวลูกปืนพลาสติกขนาดเล็ก	15

สารบัญรูป(ต่อ)

ภาพที่	หน้า
14 การจัดอุปกรณ์ควบคุมคุณภาพเลเซอร์ภายในห้องฉายรังสี ก) การจัดตามแนว ซ้าย-ขวา และ ข) การจัดตามแนวหัว-เท้า	15
15 ตัวอย่างการย่านค่าตำแหน่งของมุมอุปกรณ์บนกระดาษกราฟที่ถูกติดตั้งบน พื้นผิวตั้งฉากกับพื้น	16
16 ภาพเอกสารเรียกคอมพิวเตอร์ของอุปกรณ์ควบคุมคุณภาพภายในห้องฉายรังสี ใน มุมมองต่าง ๆ ภาคตัดขวาง ได้แก่ ก) แนว coronal ข) แนว sagittal และ ค) แนว axial	18
17 ภาพโปรแกรมเปรียบเทียบข้อมูลโดยคำนึงถึงความคลาดเคลื่อนของการจัดตำแหน่ง แต่ละครั้งจะได้สังเกตได้จากส่วน position error	19
18 แสดงอุปกรณ์ควบคุมคุณภาพเลเซอร์ รุ่น IsoCube พร้อมฐานวาง จากรบริษัท Radiation Products Design จำกัด รุ่น ISO BASE™ alignment platform ซึ่งมี ลักษณะเป็นรูปทรงลูกบาศก์ติดตั้งบนฐานปรับระดับได้	23

มหาวิทยาลัยรังสิต Rangsit University

สารบัญแผนภูมิ

แผนภูมิที่	ชื่อแผนภูมิ	หน้า
1	แผนภูมิเปรียบเทียบเวลาในการจัดทำแผ่นเมืองอุปกรณ์ฯ แต่ละครั้ง	20



บทที่ 1 บทนำ

ความเป็นมาและความสำคัญของปัญหา

รังสีรักษา เป็นหนึ่งในหลายวิธีการรักษาโรคมะเร็งที่มีบทบาทสำคัญในการรักษาโรคมะเร็งแบบเฉพาะจุด (Regional cancer) ภายใต้ความแม่นยำ (Precision) ใน การฉายรังสีพลังงานสูง ด้วยเหตุถึงกล่าวว่า จึงจำเป็นต้องควบคุมคุณภาพของเครื่องเร่งอนุภาคในเบื้องต้น ความแม่นยำของการฉายรังสีให้ได้ตามมาตรฐานสากล (Klein et al., 2009; Kutcher et al., 1994) โดยระบบเลเซอร์เพื่อการจัดตำแหน่งของผู้ป่วยในห้องฉายรังสีนั้นเป็นองค์ประกอบหนึ่งของเครื่องเร่งอนุภาคซึ่งถูกยิงลำแสงมาจากทิศทางต่าง ๆ ของผู้ป่วย ห้องฉายรังสีนั้นมีลักษณะเป็นเส้นตรงตัดไขว้กันในลักษณะเครื่องหมายบวก (Cross line) ณ ตำแหน่งจุดศูนย์กลางการหมุนร่วมของเครื่องเร่งอนุภาค (Isocenter) โดยมีความสำคัญต่อการจัดทำผู้ป่วยก่อนฉายรังสีให้ได้ตำแหน่งที่ถูกต้องและเหมือนเดิมในทุกครั้งของการฉายรังสี (Inter-Fractionation) และเพื่อสนับสนุนความสำคัญดังกล่าว จึงต้องมีการทดสอบความถูกต้องของจุดตัดของระบบเลเซอร์ ด้วยการวางอุปกรณ์ควบคุมคุณภาพระบบเลเซอร์บนเตียงฉายรังสี ณ จุดศูนย์กลางการหมุนร่วมของเครื่องเร่งอนุภาค และสังเกตว่า ลำแสงเลเซอร์ที่ถูกยิงออกมานั้น ตัดกันตรงตำแหน่งที่ถูกต้องหรือไม่ แต่เมื่อจากเตียงฉายรังสีอาจมีการวางตัวที่ไม่ขนานกับพื้นตลอดทั้งเตียง (Couch sag) ด้วยเหตุผลเพื่อรองรับน้ำหนักผู้ป่วยและความเสื่อมจากการใช้งาน (Arts et al., 2006; Kutcher et al., 1994) จึงทำให้การออกแบบอุปกรณ์ควบคุมคุณภาพระบบเลเซอร์ต้องมีขั้นตอนที่สามารถปรับความสูงและระนาบของอุปกรณ์ได้เล็กน้อยร่วมกับการใช้ระดับน้ำ (Level gauge) ในการหาความลาดเอียงของอุปกรณ์ที่เหมาะสมเพื่อชดเชยข้อจำกัดดังกล่าว ซึ่งทำให้เวลาที่ใช้ในการควบคุมคุณภาพเครื่องเร่งอนุภาคนานขึ้น เมื่อจากระยะเวลาการปรับความสูงและระนาบของอุปกรณ์ ดังนั้น เพื่อลดระยะเวลาในขั้นตอนการจัดตำแหน่งอุปกรณ์ และลดโอกาสการความคลาดเคลื่อนจากผู้ปฏิบัติงาน (Human error) จากการติดตั้งอุปกรณ์ จึงต้องมีการพัฒนาอุปกรณ์ในส่วนขั้นตอนของอุปกรณ์ควบคุมคุณภาพระบบเลเซอร์ ที่สามารถชดเชยความเอียงของเตียงฉายรังสีได้โดยไม่ต้องใช้การปรับด้วยมือ (Manual)

วัตถุประสงค์ของงานวิจัย

เพื่อพัฒนาอุปกรณ์ควบคุมคุณภาพระบบเลเซอร์เพื่อการจัดตำแหน่งของผู้ป่วยสำหรับเครื่องเร่งอนุภาคทางการแพทย์

สมมติฐานของงานวิจัย

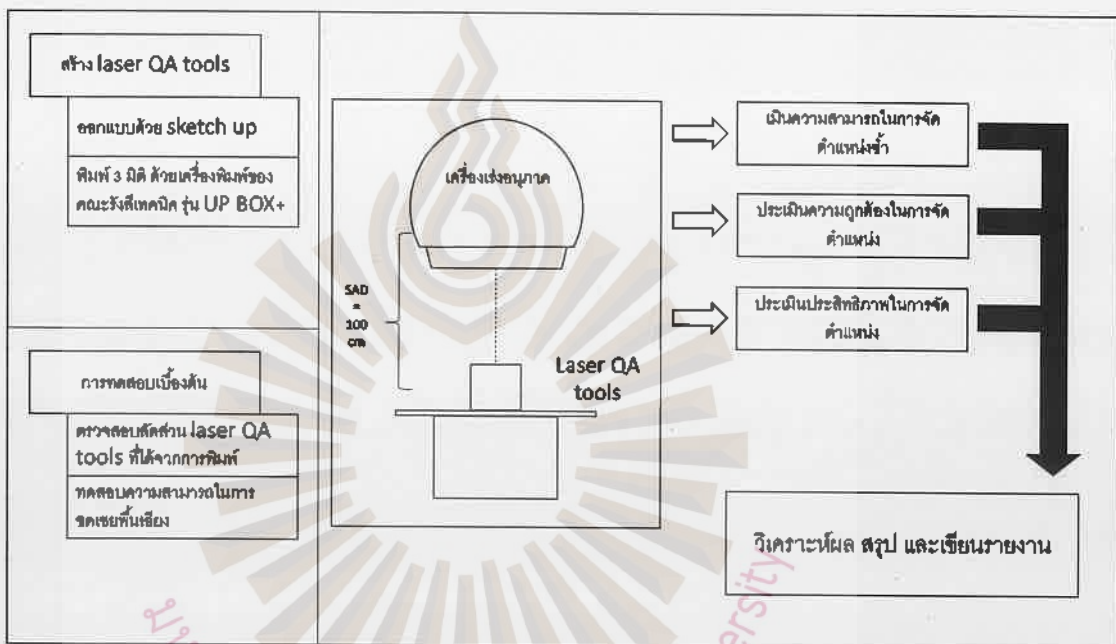
อุปกรณ์ควบคุมคุณภาพระบบเลเซอร์ที่ถูกออกแบบส่วนฐานให้สามารถปรับสมดุลการห่วงตัวได้สามารถเพิ่มประสิทธิภาพในการจัดตำแหน่ง โดยที่ยังคงมีคุณสมบัติในด้านความสามารถในการทำข้าและการจัดตำแหน่ง

ขอบเขตของงานวิจัย

ด้านเนื้อหา: งานวิจัยนี้เป็นการพัฒนาอุปกรณ์ควบคุมคุณภาพระบบเลเซอร์เพื่อการจัดตำแหน่งของผู้ป่วยภายในห้องฉายรังสีด้วยเครื่องเร่งอนุภาคทางการแพทย์แบบแขนอุปตัวอักษรซี (C-arm) ผลิตภัณฑ์ดังกล่าวโดยได้ใช้การพิมพ์สามมิติ โดยนั่นที่การพัฒนาส่วนฐานเพื่อให้สามารถจัดไปยังตำแหน่ง Isocenter ได้ง่ายยิ่งขึ้น (ใช้เวลาอีกอย่าง) การทดสอบอุปกรณ์เป็นการทดลองเชิงคุณภาพเพื่อหาคุณสมบัติของอุปกรณ์ที่ถูกพัฒนาขึ้น ในประเด็นเกี่ยวกับความสามารถในการจัดตำแหน่งสำหรับความถูกต้องในการจัดตำแหน่ง และประสิทธิภาพในการจัดตำแหน่งของอุปกรณ์ดังกล่าว

ระยะเวลาที่ดำเนินการวิจัย: 12 เดือน

กรอบแนวคิดในงานวิจัย



ภาพที่ 1 แสดงกรอบแนวคิดในงานวิจัยนี้

นิยามศัพท์เฉพาะ

- Cone beam Computed tomography หรือ CBCT หมายถึง การถ่ายภาพทางรังสี ชนิดภาคตัดขวางภายในห้องฉายรังสีรักษา โดยใช้พลังงานระดับกิโลโวลต์ (Kilovoltage)
- Crosshair หมายถึง ส่วนประกายบนหน้าจอของเครื่องเร่งอนุภาคทางการแพทย์ มีลักษณะเป็นเส้น 2 เส้น ตัดกันเป็นมุมจากบนแผ่นพลาสติกใส ณ. หน้าจอทางออกของรังสีเอกซ์ ทำให้เกิดเงาเมื่อเปิดไฟแสดงขอบเขตการฉายรังสี และจุดตัดมุมจากตั้งกล่องการแสดงถึงตำแหน่งของ isocenter
- electronics portal imaging device หรือ EPID หมายถึง ส่วนอุปกรณ์รับภาพที่ใช้ร่วมกับการถ่ายภาพทางรังสีภายในห้องฉายรังสีรักษาด้วยพลังงานระดับกิโลโวลต์ (kilovoltage)
- Intensity modulated radiotherapy หรือ IMRT หมายถึง เทคนิคการฉายรังสีแบบปรับความเข้ม
- Isocenter หมายถึง จุดหมุนร่วมของเครื่องเร่งอนุภาคทางการแพทย์

- Laser QA tools หมายถึง อุปกรณ์ควบคุมคุณภาพระบบเลเซอร์ภายในห้องฉายรังสี
- Stereotactic radiosurgery หรือ SRS หมายถึง เทคนิคการฉายรังสีแบบกำหนดพิกัด

ประโยชน์ที่คาดว่าจะได้รับ

1. อุปกรณ์ควบคุมคุณภาพระบบเลเซอร์ที่ได้จากการวิจัยนี้ ช่วยลดเวลาในการทำงานที่มีคุณภาพของเครื่องเร่งอนุภาค
2. สามารถลดความแตกต่างของผลการควบคุมคุณภาพ อันเกิดจากประสบการณ์การทำงานที่มีความแตกต่างของนักรังสีการแพทย์
3. สามารถลดความคลาดเคลื่อนจากการติดตั้งอุปกรณ์ควบคุมคุณภาพ
4. อาจมีการต่อยอดและนำวิธีการทำข้าตั้งของอุปกรณ์ควบคุมคุณภาพรูปแบบอื่น ๆ ได้
5. ผลงานได้รับการตีพิมพ์และเผยแพร่ในวารสารทางวิชาการในระดับนานาชาติ



มหาวิทยาลัยรังสิต Rangsit University

บทที่ 2

เอกสารและงานวิจัยที่เกี่ยวข้อง

1. แนวคิดและทฤษฎีที่เกี่ยวข้องกับระบบเลเซอร์สำหรับจัดตำแหน่งผู้ป่วยในห้องฉายรังสี

จุดตัดของระบบเลเซอร์ภายในห้องฉายรังสี เป็นตัวแทนของจุด Isocenter ซึ่งเป็นตำแหน่งที่ใช้เป็นจุดกึ่งกลางของการฉายรังสีสำหรับเทคนิคการฉายรังสีแบบจุดหมุนร่วม (Source Axis Distance (SAD) technique) และใช้ในการจัดตำแหน่งผู้ป่วย(ภาพที่ 2) โดยถ้าแสงเลเซอร์จะถูกปล่อยมาจากเครื่องกำเนิดเลเซอร์ จากตำแหน่งต่าง ๆ ของห้องฉายรังสี ได้แก่ ผนังห้องด้านข้างทั้ง 2 ด้าน เพดาน ห้อง และด้านตรงข้ามเครื่องเรืองเงินอนุภาคบริเวณปลายเตียง ซึ่งความถูกต้องของจุดตัดนี้ส่งผลต่อความถูกต้องของตำแหน่งในการฉายรังสีให้กับผู้ป่วย(Podgor et al. & International Atomic Energy Agency, 2005) ดังนั้นการตรวจสอบความต้องกันของตำแหน่งจุดตัดระบบเลเซอร์ และตำแหน่ง Isocenter ของเครื่องฉายเรืองอนุภาคจึงมีความสำคัญ อีกทั้งตามแนวทางปฏิบัติของคณะกรรมการนักฟิสิกส์การแพทย์แห่งสหรัฐอเมริกา (Task group of American Association of Physicists in Medicine: AAPM) ฉบับที่ 142 (AAPM TG 142) ได้กำหนดให้ว่าความต้องกันของจุดตัดของระบบเลเซอร์และจุด Isocenter ต้องตรงกันและมีความคลาดเคลื่อนได้ไม่เกิน ± 2 มิลลิเมตรสำหรับการฉายรังสีด้วยเทคนิคทั่วไป, ± 1 มิลลิเมตร สำหรับการฉายรังสีด้วยเทคนิคปรับความเข้มของลำรังสี (Intensity modulated radiotherapy: IMRT) และน้อยกว่า ± 1 มิลลิเมตร สำหรับการฉายรังสีด้วยเทคนิครังสีศัลยกรรม(Stereotactic radiosurgery: SRS)(Klein et al., 2009)

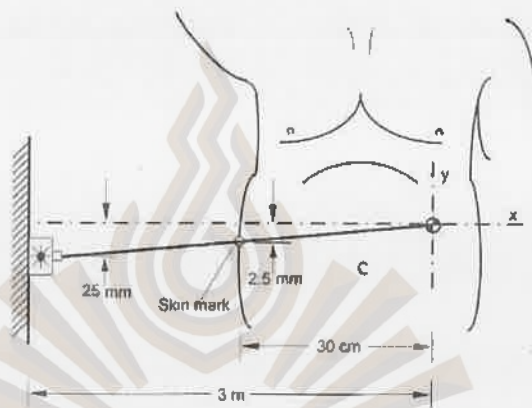


ภาพที่ 2 การใช้งานระบบเลเซอร์ในการจัดท่าผู้ป่วย(NHS GRAMPIAN CHARITIES, 2018)

2. แนวคิดและทฤษฎีที่เกี่ยวข้องกับความผิดพลาดต่อการฉายรังสีเมื่อตำแหน่งของเลเซอร์สำหรับจัดตำแหน่งผู้ป่วยมีความคลาดเคลื่อน

ความผิดพลาดของตำแหน่งของเลเซอร์สำหรับจัดตำแหน่งผู้ป่วยอาจแบ่งได้เป็น 2 แบบคือ ความคลาดเคลื่อนในแนวระนาบ (Translation) และความคลาดเคลื่อนในแนวการหมุน (Rotation)

สำหรับความคลาดเคลื่อนในแนวระนาบแสดงถึงความคลาดเคลื่อนของการฉายรังสีโดยตรงซึ่งไม่ขึ้นกับขนาดของผู้ป่วย ส่วนความคลาดเคลื่อนในแนวการหมุนนั้นจะส่งผลทำให้การฉายรังสีมีความผิดพลาดได้ เช่นกัน เพราะถึงแม้ว่าตำแหน่งของเลเซอร์สำหรับจัดตำแหน่งผู้ป่วยจากทุกแนวจะมาตัดกันที่ตำแหน่งจุดหมุนรวมของเครื่องเรืองร่องเรืองน้ำคาก็ตาม แต่อาจไม่เพียงพอที่จะลดความผิดพลาดในแนวการหมุนได้ เนื่องจากเลเซอร์ที่ถูกปลดปล่อยจากเครื่องที่ติดตั้งที่กำแพงห้องฉายรังสีอาจมีการเอียงไปจากแนวเดิมและส่งผลทำให้ตำแหน่งจุดหมุนรวมของเครื่องเรืองร่องเรืองน้ำคากผิดไปจากที่ควรจะเป็นได้ หรืออาจกล่าวได้ว่าแนวการเคลื่อนที่ของเลเซอร์ที่มุ่งเดียวกับลำรังสีไม่ได้ขานกัน ดังภาพที่ 3 ดังนั้นหากจัดตำแหน่งที่ต้องการฉายรังสีตรงตามเลเซอร์ที่มีความผิดพลาด จะส่งผลให้เกิดการฉายรังสีผิดตำแหน่งได้ ซึ่งความคลาดเคลื่อนนี้จะมากน้อยขึ้นอยู่กับขนาดตัวของผู้ป่วยด้วย(Brezovich & Jordan, 2007)



ภาพที่ 3 ความผิดพลาดเมื่อการติดตั้งเลเซอร์มีความผิดพลาดในแนวการหมุน ซึ่งแม้ว่าเลเซอร์จะตัดกันที่จุดเดียวกันก็ยังคงมีการหมุนของเครื่องเรืองร่องเรืองน้ำคากแต่อาจจะยังมีความผิดพลาดอยู่ได้และมีผลต่อการจัดตำแหน่งของผู้ป่วย(Brezovich & Jordan, 2007)

3. แนวคิดและทฤษฎีที่เกี่ยวข้องกับการควบคุมคุณภาพระบบเลเซอร์ภายในห้องฉายรังสี

การควบคุมคุณภาพระบบเลเซอร์ภายในห้องฉายรังสีเป็นการลดโอกาสในการผิดพลาดที่อาจส่งผลต่อปริมาณรังสี ผลกระทบรักษา และอาการข้างเคียงที่อาจเกิดขึ้น โดยวิธีการจะเป็นการทดสอบโดยการวางแผนอุปกรณ์ทดสอบ ณ ตำแหน่งจุดศูนย์กลางการหมุนรวมของเครื่องเรืองร่องเรืองน้ำคาก (Isocenter) โดยไม่ใช้เลเซอร์ในการกำกับในการจัดตำแหน่ง หลังจากนั้นจึงเปิดเลเซอร์เพื่อสังเกตความคลาดเคลื่อนของการพอดผ่านของเส้นเลเซอร์บนอุปกรณ์ทดสอบ ในการควบคุมคุณภาพระบบเลเซอร์ประจำวัน (Daily QC) ตามแนวทางปฏิบัติของ AAPM TG-142 แนะนำว่าความคลาดเคลื่อนของระบบเลเซอร์ไม่ควรเกิน 1 หรือ 2 มิลลิเมตร สำหรับการฉายด้วยเทคนิค IMRT ขึ้นไป และเทคนิคที่ไม่ใช่ IMRT ตามลำดับ(Klein et al., 2009) ซึ่งตามแนวทางปฏิบัตินี้ ค่าความคลาดเคลื่อนที่ยอมรับได้มีค่าน้อยมาก ดังนั้นความผิดพลาดที่เกิดจากผู้ปฏิบัติงานระหว่างการควบคุมคุณภาพ อาจทำให้ความคลาดเคลื่อนของระบบเลเซอร์ไม่ถูกตรวจพบ ซึ่งอาจมีสาเหตุมาจากการควบคุมคุณภาพ ขาดความรู้ ความหละหลวมของการปฏิบัติงาน ข้อจำกัดด้านทรัพยากร และการสื่อสารที่ผิดพลาด ดังนั้นการใช้อุปกรณ์ควบคุมคุณภาพที่ใช้งานง่ายไม่ซับซ้อนจะช่วยลดโอกาสในการเกิดความผิดพลาดจากผู้ปฏิบัติงานลงได้

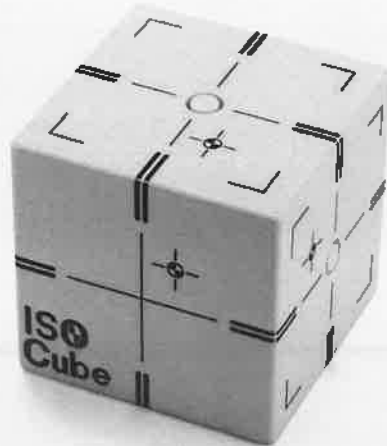
ตัวอย่างอุปกรณ์ควบคุมคุณภาพระบบเลเซอร์ที่มีจำหน่ายทั่วไป

อุปกรณ์ควบคุมคุณภาพระบบเลเซอร์ที่จำเป็นทั่วไปมีลักษณะไม่แตกต่างกันมากส่วนใหญ่จะใช้เป็นแบบขาตั้งและใช้น็อกบอร์ดดับความเอียง ซึ่งอาจจะมีหรือไม่มีระดับน้ำในการตรวจสอบความเอียงของอุปกรณ์ได้ ยกตัวอย่าง 2 แบบคือ RT ALIGN ROTATE และ ISO Cube™ Daily QA Phantom

- RT ALIGN ROTATE ดังภาพที่ 4 มีลักษณะเป็นแผ่นสีเหลี่ยม สามารถหมุนอุปกรณ์เพื่อตรวจสอบตำแหน่งความถูกต้องของเลเซอร์ด้านข้างได้ และสามารถตรวจสอบความตรงกันของพื้นที่ฉายรังสีและพื้นที่แสงไฟเพื่อการระบุตำแหน่งล้ำรังสี (Radiation field and Light field alignment) รวมกับการใช้อุปกรณ์รับภาพรังสีเอกซเรย์ระดับพลังงานมากกว่า EPID ได้(RT ALIGN ROTATE Specification Sheet, n.d.)
- ISO Cube™ Daily QA Phantom ดังภาพที่ 5 มีลักษณะเป็นรูปทรงลูกบาศก์ขนาด 12x12x12 ลูกบาศก์เซนติเมตร(cm^3) มีน้ำหนัก 17 กิโลกรัมโดยประมาณ ซึ่งสามารถใช้ควบคุมคุณภาพแนวเส้นเลเซอร์ (Laser alignment) พื้นที่ของแสงไฟจากเครื่องเรืองอนุภาค (Light field size indicator) ความตรงกันของจุดหมุนร่วมของอุปกรณ์รับภาพรังสีเอกซเรย์ระดับพลังงานกิโลโวลต์และเมกะโวลต์ (kV and MV imager coincident) การทำงานของระบบถ่ายภาพแบบสามมิติในห้องฉายรังสี (CBCT accuracy) ความถูกต้องของแสงระบุระยะห่างจากแหล่งกำเนิดรังสี (optical distance indicator accuracy: ODI accuracy) ความถูกต้องของระดับความสูงของเตียงฉายรังสี (Table height accuracy) และความตรงกันของพื้นที่ฉายรังสีและพื้นที่แสงไฟเพื่อการระบุตำแหน่งล้ำรังสี (Radiation field and Light field alignment)(ISO Cube Daily QA Phantom: Data Sheet, n.d.)



ภาพที่ 4 ภาพ RT ALIGN ROTATE(RT ALIGN ROTATE Specification Sheet, n.d.)



ภาพที่ 5 ภาพ ISO Cube™ Daily QA Phantom(ISO Cube Daily QA Phantom: Data Sheet, n.d.)

4. แนวคิดและทฤษฎีที่เกี่ยวข้องกับการพิมพ์สามมิติ

การพิมพ์สามมิติเป็นเทคโนโลยีที่เกี่ยวข้องกับการสร้างวัตถุทางกายภาพ ปัจจุบันมีหลักวิธีการที่ถูกประยุกต์ใช้ ได้แก่ การฉีดวัสดุสำหรับการพิมพ์ที่อยู่ในสถานะกึ่งของเหลว เป็นต้น ทั้งนี้ วิธีการพิมพ์สามมิติยังขึ้นอยู่กับชนิดของวัสดุที่ต้องการพิมพ์สามมิติ อาทิเช่น การฉีดวัสดุสำหรับการพิมพ์ที่อยู่ในสถานะกึ่งของเหลวเหมาะสมกับการสร้างชิ้นงานจากพลาสติกที่อ่อนตัวเมื่อสัมผัสร่วม เช่น Acrylonitrile Butadiene Styrene(ABS), Polylactic acid(PLA) และ Thermoplastic Polyurethane(TPU) เป็นต้น ซึ่งการสร้างชิ้นงานจากพลาสติกมีความเหมาะสมต่อการสร้างอุปกรณ์ต้นแบบเนื่องจากต้นทุนต่ำ และมีกระบวนการการทำงานที่ไม่ซับซ้อน (Shahrubudin et al., 2019) โดยที่พลาสติกแต่ละชนิดมีคุณสมบัติและรายละเอียดปลีกย่อยที่จำเป็นต้องทราบก่อนสร้างชิ้นงาน โดยมีรายละเอียดแสดงได้ดังตารางที่ 1

ตารางที่ 1 คุณสมบัติของพลาสติกที่สามารถใช้กับเครื่องพิมพ์สามมิติรุ่น UP BOX+ ผลิตโดยบริษัท Tiertime(Rohringer, 2020)

คุณสมบัติ/วิธีใช้งาน	พลาสติกชนิด ABS	พลาสติกชนิด PLA	พลาสติกชนิด TPU
ความหนาแน่น(กรัม/ลบ.ซม.)	1.04	1.24	1.2
อุณหภูมิที่ใช้พิมพ์ (องศาเซลเซียส)	230-250	180-210	230-260
อุณหภูมิสำหรับอุ่น ฐานพิมพ์ (องศาเซลเซียส)	90-110	50-60	45-65
ลักษณะชิ้นงานที่ได้	แข็ง ไม่มั่นคง ทนต่อ ความร้อน และการ เสียดสี	แข็ง มั่นคง ชิ้นงานไม่ หลุดตัวระหว่างพิมพ์	เหนียว ยืดหยุ่น



ภาพที่ 6 ภาพเครื่องพิมพ์สามมิติ รุ่น UP BOX+ ผลิตโดยบริษัท Tiertime ของคณะวังสีเทคนิค มหาวิทยาลัยรังสิต

5. แนวคิดและทฤษฎีที่เกี่ยวข้องกับการทดสอบอุปกรณ์ตรวจสอบความถูกต้องของระบบเลเซอร์ (Hwang et al., 2016)

การทดสอบอุปกรณ์ตรวจสอบความถูกต้องของระบบเลเซอร์ประกอบด้วย 3 ประเด็น คือ Alignment reproducibility, Alignment accuracy และ Alignment efficiency รายละเอียดดังนี้

1. Alignment reproducibility เป็นการทดสอบความสามารถในการจัดวางอุปกรณ์ช้า ๆ
2. Alignment accuracy เป็นการทดสอบความถูกต้องของการติดตั้งอุปกรณ์
3. Alignment efficiency เป็นการประเมินประสิทธิภาพของการทำงาน โดยการเปรียบเทียบเวลาในการใช้งาน



ภาพที่ 7 ภาพตัวอย่างฐานพิมพ์ที่ใช้งานร่วมกับเครื่องพิมพ์สามมิติ รุ่น UP BOX+ ผลิตโดยบริษัท Tiertime

6. งานวิจัยที่เกี่ยวข้อง

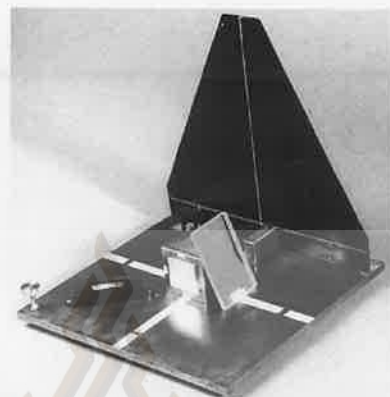
6.4 อุปกรณ์ควบคุมคุณภาพระบบเลเซอร์

อุปกรณ์และเทคนิคการตรวจสอบความตรงกันของตำแหน่งจุดของระบบเลเซอร์และตำแหน่ง Isocenter ของเครื่องเร่งอนุภาคที่มีการพัฒนาขึ้นในปัจจุบันมีหลายรุ่น โดยมีคุณสมบัติที่แตกต่างกัน ออกแบบตามวัตถุประสงค์ในการใช้งาน ทั้งยังออกแบบให้สามารถตรวจสอบคุณภาพเครื่องเร่งอนุภาค ในประเทศไทย ฯ ลักษณะ (Multi-purpose QC Device)

6.4.1 การพัฒนาอุปกรณ์ควบคุมคุณภาพระบบเลเซอร์ที่ปรากฏในงานวิจัย

- Ivan A. Brezovich และ Stephen jordan (2550) ได้ออกแบบอุปกรณ์ช่วยในการติดตั้งเลเซอร์ในห้องขยายรังสีดังภาพที่ 8 โดยมีการใช้กระ JACK เพื่อสะท้อนแสงเลเซอร์ ด้วยการวางแผนอุปกรณ์ตั้งกล้องไว้ที่

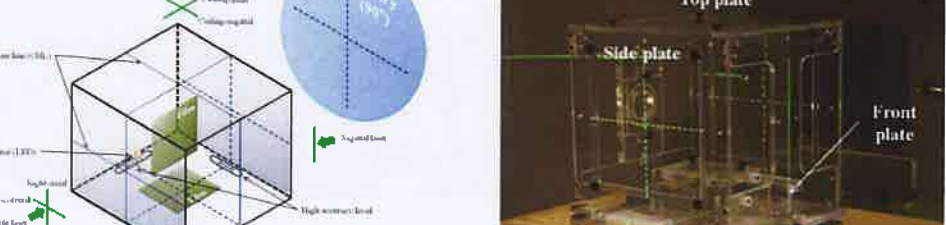
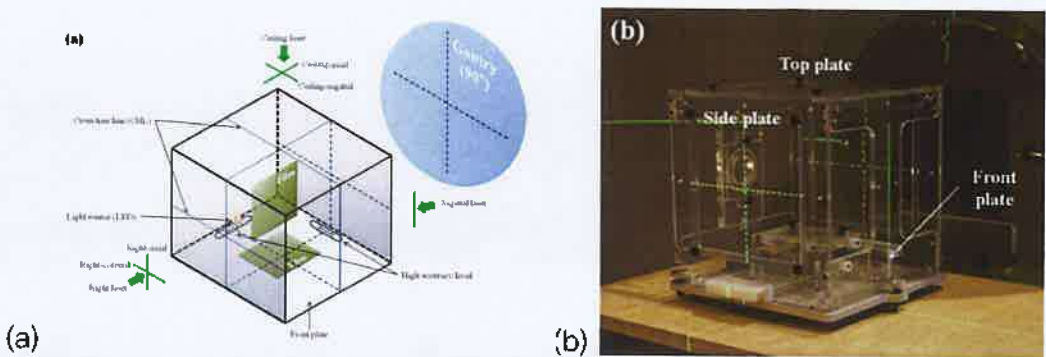
ตำแหน่งจุดศูนย์กลางการหมุนของเครื่องเร่งอนุภาคและปรับให้ทางได้ขนาดกับพื้นห้องโดยใช้ระดับน้ำ และขาตั้งที่มีนอตหมุนสำหรับปรับระดับ เมื่อปล่อยเลเซอร์มากระทบที่อุปกรณ์ดังกล่าวเลเซอร์จะสะท้อนกลับไปยังช่องปล่อยเลเซอร์ (Laser aperture) ของเครื่องปล่อยเลเซอร์ หากตำแหน่งหรือแนวของเลเซอร์ไม่ถูกต้อง เส้นที่สะท้อนกลับจะไม่ซ้อนกับและไม่ตัดที่ช่องปล่อยเลเซอร์ได้อย่างพอดี(Brezovich & Jordan, 2007)



ภาพที่ 8 ภาพอุปกรณ์ตรวจสอบตำแหน่งเลเซอร์ที่ถูกออกแบบโดย Ivan A. Brezovich และStephen jordan (2550)(Brezovich & Jordan, 2007)

จากผลการทดสอบอุปกรณ์ดังกล่าวสามารถวางไว้ที่ตำแหน่งจุดศูนย์กลางการหมุนร่วมของเครื่องเร่งอนุภาค อย่างถูกต้อง(Accuracy) และทำได้ง่ายจึงทำให้มีความสามารถในการทำซ้ำ (Reproducibility) แต่อย่างไรก็ตามอุปกรณ์ดังกล่าวมีการเชิงของกระดาษเพื่อรองรับการตรวจสอบ เลเซอร์ที่มาจากทางปลายเตียงทำให้องศาการเอียงนั้นไม่เหมาะสมเมื่อนำไปใช้กับห้องฉายรังสีห้องอื่น ๆ ที่มีการติดตั้งเลเซอร์ที่ระดับความสูงแตกต่างกัน ดังนั้ออุปกรณ์นี้จึงไม่เหมาะสมกับการใช้งานใน สภาพการทำงานจริง ที่อุปกรณ์ 1 ชิ้นควรนำไปใช้งานกับห้องฉายรังสีอื่น ๆ ได้ด้วย

- Ui-Jung Hwang และคณะ (2559) ได้ออกแบบอุปกรณ์ควบคุมคุณภาพระบบเลเซอร์ให้ดังภาพที่ 9 โดยมีลักษณะเป็นทรงลูกบาศก์ขนาด $30 \times 30 \times 30$ ลูกบาศก์เซนติเมตร (cm^3) ประกอบด้วยวัสดุที่เป็นแผ่นโลหะด้านฐาน 1 แผ่น และแผ่นพลาสติกอะคริลิกใส 5 แผ่น ทุกแผ่นจะมีที่มีเส้น Crosshair (CHL) หรือเส้นแนวตั้งซึ่งเป็นเส้นเดียวกับที่ใช้สำหรับการจัดตำแหน่ง ยกเว้นแผ่นด้านบนและแผ่นด้านล่างที่เป็นโลหะ และนอกจานี้ยังมีตัวยึด 2 ตัว ที่ทำเป็นช่อง สำหรับใส่ฟิล์มเรดิโอลูเชอริก (Radiochromic film) ภายในอุปกรณ์ดังกล่าว เพื่อให้หาตำแหน่งจุดศูนย์กลางการหมุนร่วมของผ้ารังสี (Radiation isocenter) จากเครื่องเร่งอนุภาคด้วยวิธีการถ่ายภาพทางรังสี ซึ่งพบว่าวิธีการติดตั้งและ การทดสอบระบบเลเซอร์ภายในห้องฉายรังสีและอุปกรณ์ที่เกี่ยวข้องที่นำเสนอในงานวิจัยนี้ ช่วยเพิ่ม ความถูกต้อง ความสามารถในการทำซ้ำ และความเร็วเมื่อเทียบกับวิธีการเดิม นอกจากนี้กระบวนการการทำนำเสนอในงานวิจัยนี้ยังไม่ได้รับผลกระทบจากความคลาดเคลื่อนอื่นของเครื่องเร่งอนุภาค เช่น แกนหรือ แหล่งกำเนิดแสง และคลอสแวร์ เป็นต้น(Hwang et al., 2016)



ภาพที่ 9 ภาพต้นแบบของอุปกรณ์จัดตั้มแน่นเลเซอร์: (a) แผนผังอุปกรณ์จัดตั้มแน่นเลเซอร์และ (b) รูปถ่ายของอุปกรณ์จัดตั้มแน่นเลเซอร์ที่วางอยู่บนเตียงผู้ป่วย(Hwang et al., 2016)



บทที่ 3 วิธีดำเนินการวิจัย

1. เครื่องมือที่ใช้ในงานวิจัย

- เครื่องเร่งอนุภาค(Linear accelerator) รุ่น Versa HD ยี่ห้อ Elekta ที่มีการติดตั้งเตียงเคลื่อนที่ได้ 6 ทิศทาง รุ่น HEXAPOD และสามารถถ่ายภาพทางรังสีได้ด้วยรังสีเอกซ์พลังงานระดับกิโลโวลต์

- เครื่องจำลองการรักษาแบบสามมิติ(CT simulator) รุ่น Somatom ยี่ห้อ Siemens
- เครื่องพิมพ์สามมิติ รุ่น UP BOX+ ผลิตโดยบริษัท Tiertime
- โปรแกรม SketchUp
- ตัดลูกปืนพลาสติก
- ไม้บรรทัดเหล็ก
- กระดาษกราฟ
- โลหะสำหรับถ่วงน้ำหนัก
- เส้นพลาสติก ABS สำหรับเครื่องพิมพ์สามมิติ
- เส้นพลาสติก PLA สำหรับเครื่องพิมพ์สามมิติ

2. การสร้างเครื่องมือที่ใช้ในงานวิจัย

2.1. การออกแบบอุปกรณ์ควบคุมคุณภาพภายในห้องฉายรังสี

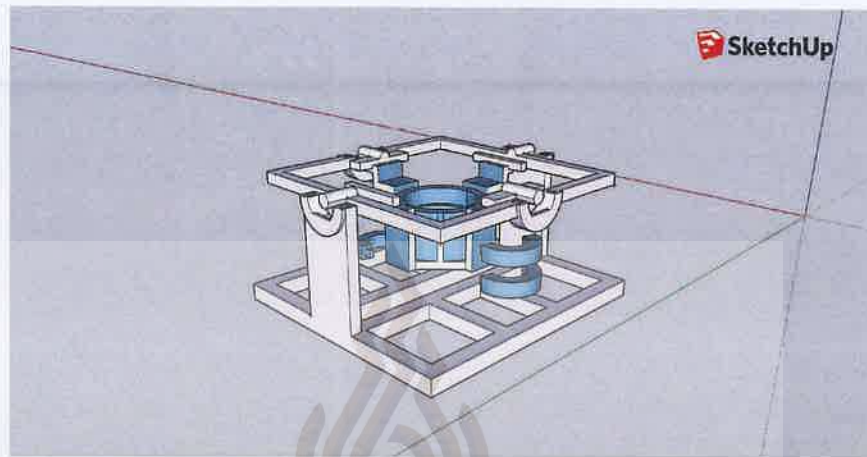
ออกแบบอุปกรณ์ควบคุมคุณภาพระบบเลเซอร์สำหรับห้องฉายรังสีรักษา ด้วยโปรแกรมออกแบบสามมิติ SketchUp ของบริษัท Trimble ซึ่งเป็นซอฟต์แวร์แบบไม่เสียค่าใช้จ่าย ซึ่งการออกแบบอุปกรณ์ดังกล่าวประกอบด้วย 2 ส่วนคือ ส่วนฐานและส่วนทดสอบ รายละเอียดดังนี้

- ส่วนฐาน จะมีขนาดประมาณ 15×15 ตารางเซนติเมตร และสูง ประมาณ 5 เซนติเมตร มีกลไกข้อต่อแบบตัวและเพลา 4 ชุดในแนวหน้าหลังและแนวด้านข้างเพื่อชดเชยความลาดเอียงของเตียงฉายรังสี และใช้ตัดลูกปืนช่วยลดแรงดึงดูดของน้ำหนัก ระยะห่างฐานออกแบบเป็นทรงกระบอกสำหรับใส่โลหะถ่วงน้ำหนัก แสดงได้ดังภาพที่ 10
- ส่วนทดสอบ มีขนาด $10 \times 10 \times 10$ ลูกบาศก์เซนติเมตร โดยถูกออกแบบให้มีลักษณะลูกบาศก์ ไปร์บังส่วนเพื่อลดน้ำหนักของวัสดุ ซึ่งจะใช้สำหรับทดสอบแนวภาพพาดผ่านของเลเซอร์ทั้ง 4 แนว จากด้านข้าง 2 ด้าน เพดานและปลายเท้าของผู้ป่วยอีกอย่างละ 1 ด้าน โดยจะมีการกำหนดเส้นอ้างอิงบนส่วนทดสอบเพื่อใช้ในการจัดอุปกรณ์ นอกจากนี้ยังมีการติดตั้งระดับน้ำที่กลางอุปกรณ์เพื่อใช้สังเกตความตรงของอุปกรณ์ แสดงได้ดังภาพที่ 11

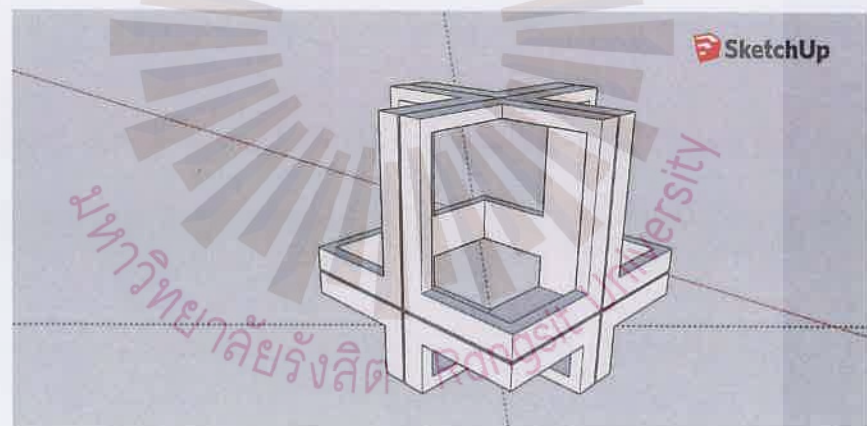
เมื่อส่วนต่าง ๆ ประกอบเข้าด้วยกันแล้ว ส่วนของโลหะถ่วงน้ำหนักจะทำหน้าที่ในการปรับสมดุลการตั้งตระหง่านของส่วนทดสอบ ซึ่งเมื่ออุปกรณ์ควบคุมคุณภาพระบบเลเซอร์ถูกวางบนพื้นเอียงแรงโน้มถ่วงที่เกิดกับโลหะถ่วงน้ำหนักจะทำให้เกิดทอร์กของการหมุน สงผลให้สามารถรักษาสภาพการวางตัวของ ส่วนทดสอบ จุดหมุน และโลหะถ่วงน้ำหนัก ให้อยู่ในแนวเดียวกับทิศทางของแรงโน้มถ่วงโลกเสมอ

2.2. การพิมพ์สามมิติ

นำไฟล์การออกแบบอุปกรณ์ควบคุมคุณภาพระบบเบเลเซอร์ ในขั้นตอนที่ 2.1 สงเข้าโปรแกรมควบคุมเครื่องพิมพ์สามมิติ โดยการพิมพ์สามมิติในงานวิจัยนี้จะใช้เครื่องพิมพ์สามมิติรุ่น UP BOX+ ผลิตโดยบริษัท Tiertime เพื่อ โดยพิมพ์แยก 2 ส่วน คือส่วนฐานซึ่งจะพิมพ์โดยใช้พลาสติกชนิด PLA เพื่อให้ได้รี้งานที่มีสัดส่วนที่ถูกต้องสูงและส่วนทดสอบใช้พลาสติกชนิด ABS เพื่อให้ได้รี้งงานที่มีน้ำหนักเบา



ภาพที่ 10 การออกแบบส่วนฐานของอุปกรณ์ควบคุมคุณภาพเบเลเซอร์ด้วยโปรแกรม SketchUp มีส่วนฐานขนาด 15×15 ตารางเซนติเมตร และสูง 5 เซนติเมตร



ภาพที่ 11 การออกแบบส่วนทดสอบของอุปกรณ์ควบคุมคุณภาพเบเลเซอร์ด้วยโปรแกรม SketchUp มีขนาด $10 \times 10 \times 10$ ลูกบาศก์เซนติเมตร มีการทำหนาเส้นอ้างอิงกว้าง 1 มิลลิเมตรบนส่วนทดสอบ เพื่อใช้ในการจัดอุปกรณ์

3. การเก็บรวมรวมข้อมูล

3.1 การทดสอบคุณสมบัติเบื้องต้น

3.1.1 ความถูกต้องของ การพิมพ์สามมิติ

ประเมินความถูกต้องของ การพิมพ์สามมิติโดยการใช้ไม้บรรทัดที่มีการรับรองมาตรฐานระยับชีคสเกล จากหน่วยงานมาตรฐานวิทยาที่ได้รับความน่าเชื่อถือ โดยวัดในด้านต่าง ๆ ของอุปกรณ์หลังพิมพ์

เสร็จสิ้น เพื่อให้มั่นใจว่าอุปกรณ์ดังกล่าวมีขนาดเป็นไปตามที่ออกแบบไว้ ซึ่งมีผลต่อความสมดุลในการติดตั้ง โดยมีความคาดเคลื่อนไม่เกิน ± 1 มิลลิเมตร

3.1.2 ประเมินความสามารถในการชดเชยพื้นเสียง

ทำโดยทำการทดสอบการจัดบันพื้นเสียงที่อย่างชาญรังสีแบบ 6 มิติ ซึ่งสามารถจำลองการเสียงของพื้นได้ โดยทดสอบการจัดบันพื้นเสียงที่แต่ระดับ ได้แก่ 2, 1, 0, -1 และ -2 องศา จากนั้นอ่านค่าตำแหน่งจากตำแหน่งที่แนบมาในห้องชาญรังสี ที่ตอกกระดาษบนผิวตั้งจากจากแสงไฟที่เปิดโดยเครื่องชาญรังสี คำนวนค่า \arctan เพื่อประเมินมุมเสียงของอุปกรณ์ สำหรับการประเมินความสามารถในการชดเชยพื้นเสียงจะทำทั้งการจัดอุปกรณ์ตามแนวข้าม-ขวา(lateral) และแนวหัว-เท้า(longitudinal)

3.2 การทดสอบการทำงาน

3.2.1 การทดสอบความสามารถในการทำงานทำข้าของจัดตำแหน่งอุปกรณ์ควบคุมภาพระบบเลเซอร์

จัดตำแหน่งของอุปกรณ์ควบคุมภาพระบบเลเซอร์บนเตียง ณ ตำแหน่งจุดศูนย์กลางการหมุนร่วมของเครื่องเรืองเงือนภาค โดยปรับมุมหัวเครื่องเรืองเงือนภาคไปที่มุม 90 องศา เปิดไฟจากเครื่องเรืองเงือนภาคและอ่านค่าขนาดเงา ตำแหน่งของเงาบนพื้นผิวตั้งจาก โดยขนาดของเงาจะแสดงตำแหน่งในแนวข้าม-ขวา และตำแหน่งของเงาบนกำแพงจะแสดงตำแหน่งในแนวบน-ล่างและแนวหัว-เท้า ทำซ้ำ 10 ครั้ง โดยเริ่มจัดอุปกรณ์เริ่มต้นเมื่อก่อนการเริ่มปฏิบัติงาน

3.2.2 การทดสอบความสามารถถูกต้องของจัดตำแหน่งอุปกรณ์ควบคุมภาพระบบเลเซอร์

เป็นการทดสอบความสามารถถูกต้องของการจัดอุปกรณ์ โดยการจัดตำแหน่งอุปกรณ์ควบคุมภาพระบบเลเซอร์ด้วยวิธีการเดียวกับขั้นตอนที่ 3.2.1 จากนั้นถ่ายภาพด้วยระบบถ่ายภาพทางรังสีโดยใช้การถ่ายภาพแบบภาพตัดขวาง(cone beam computed tomography) ที่ติดตั้งภายในห้องชาญรังสีที่ใส่แกน x-y ให้กับภาพถ่ายทางรังสีจากนั้นอ่านค่าตำแหน่งที่คลาดเคลื่อนไปของการจัดตำแหน่ง ในแนวข้าม-ขวา บน-ล่างและแนวหัว-เท้า ทำซ้ำ 10 ครั้ง

3.2.3 การวิเคราะห์ประสิทธิภาพการทำงานของอุปกรณ์ควบคุมภาพระบบเลเซอร์

เป็นการประเมินประสิทธิภาพของการทำงาน โดยการเปรียบเทียบเวลาที่ใช้ในการจัดอุปกรณ์ควบคุมภาพระบบเลเซอร์ที่ถูกสร้างขึ้นในการทดลองนี้ในขั้นตอนที่ 3.2.1 และ 3.2.2 กับอุปกรณ์ควบคุมภาพระบบเลเซอร์ที่ใช้ในโรงพยาบาลที่มีอยู่แล้วในการทำงานควบคุมภาพประจำวัน

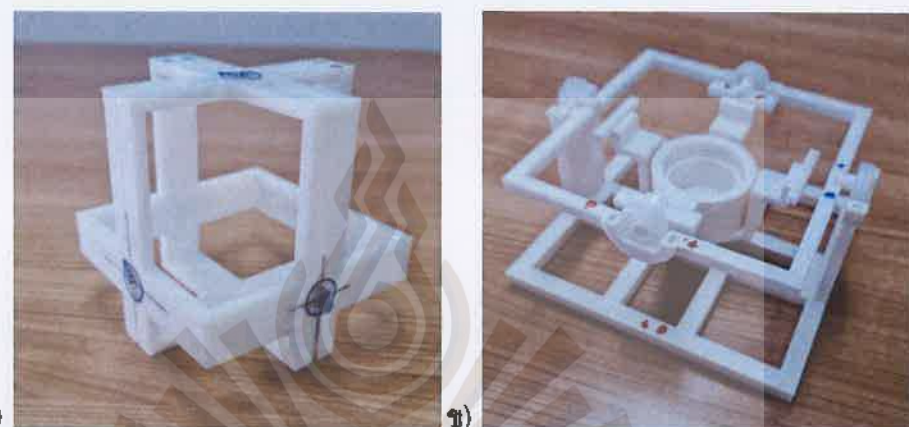
4. การวิเคราะห์ข้อมูล

การทดสอบคุณสมบัติของอุปกรณ์ 2 ประเด็น ได้แก่ ความถูกต้องของการพิมพ์ และความสามารถในการชดเชยพื้นเสียงซึ่งจะใช้การวิเคราะห์ค่าเฉลี่ยการเสียงมุมของอุปกรณ์ด้วยสถิติทดสอบ one-way ANOVA และหากค่าการเสียงมุมไม่เท่ากันอย่างมีนัยสำคัญจะดำเนินการวิเคราะห์ด้วยวิธี multiple comparison เพื่อหาค่าการเสียงของเดียงที่อุปกรณ์ไม่สามารถชดเชยพื้นเสียงได้

ส่วนการวิเคราะห์ข้อมูลความสามารถของอุปกรณ์ระหว่างการใช้งาน 3 ประเด็น คือความสามารถในการจัดตำแหน่งซ้ำได้ค่าส่วนเบี่ยงเบนมาตรฐาน, ความถูกต้องของการจัดตำแหน่ง และประสิทธิภาพในการจัดตำแหน่งจะใช้การทดสอบด้วยสถิติ t-test โดยกำหนดระดับความเชื่อมั่นที่ 95 %

บทที่ 4
ผลการทดสอบ และอภิปรายผล

อุปกรณ์ควบคุมคุณภาพเลเซอร์ภายในห้องฉายรังสีที่ถูกพัฒนาในงานวิจัยนี้ สามารถสร้างได้โดยใช้เครื่องพิมพ์สามมิติ รุ่น UP BOX+ ผลิตโดยบริษัท Tiertime ของคณะรังสีเทคนิค มหาวิทยาลัย รังสิต โดยในส่วนฐานให้เส้นพลาสติกชนิด PLA และส่วนทดสอบให้พลาสติกชนิด ABS ซึ่งมีน้ำหนักเบากว่า โดยมีความถูกต้องของการพิมพ์ภายหลังการตัดแต่งตรงตามที่ออกแบบ มีความคลาดเคลื่อนน้อยกว่า 1 มิลลิเมตร แสดงได้ดังภาพที่ 12



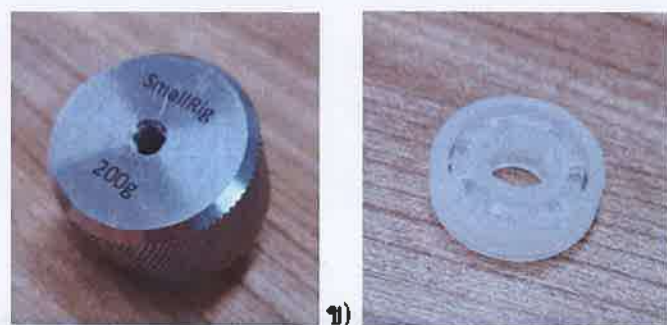
ภาพที่ 12 ภาพอุปกรณ์ควบคุมคุณภาพเลเซอร์ภายในห้องฉายรังสีที่ถูกพัฒนาในงานวิจัยนี้โดยที่ในภาพ (a) คือส่วนทดสอบ ขนาด $10 \times 10 \times 10$ ลูกบาศก์เซนติเมตร และภาพ (b) คือส่วนฐาน ขนาด 15×15 ตารางเซนติเมตร และสูง 5 เซนติเมตร

นอกเหนือจากการประกอบที่ได้จากการพิมพ์สามมิติ อุปกรณ์ควบคุมคุณภาพเลเซอร์ภายในห้องฉายรังสีที่ถูกพัฒนาในงานวิจัยนี้ ยังมีส่วนประกอบอื่น ๆ อีกได้แก่ ตัวบล็อกเป็นพลาสติก (ภาพที่ 13.ข) จำนวน 4 ชิ้น ซึ่งเป็นส่วนที่ช่วยในการลดแรงเสียดทานระหว่างชิ้นส่วนที่จำเป็นต้องมีการหมุนเพื่อปรับสมดุลของอุปกรณ์ และลูกศรตุ้มต่างน้ำหนัก (ภาพที่ 13.ก) ขนาด 200 กرم ซึ่งเป็นส่วนที่อยู่กลางส่วนฐานของอุปกรณ์เพื่อช่วยในการถ่วงน้ำหนักลงด้านล่างเพื่อให้อุปกรณ์ฯตั้งตรงอยู่ตลอดเวลา

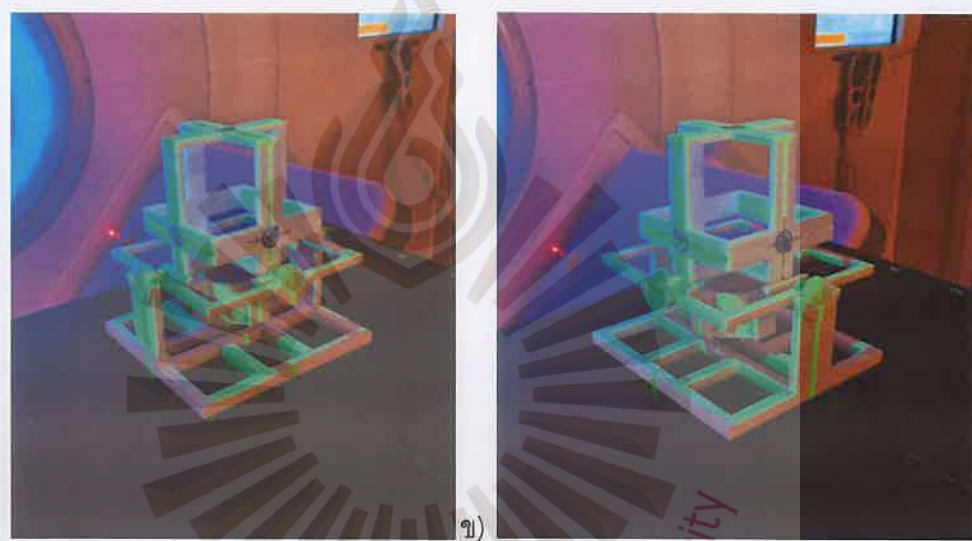
ส่วนของคุณสมบัติที่เกี่ยวเนื่องกับการใช้งาน ได้แก่ ความสามารถในการซัดเชยพื้นอุบัติ ความสามารถในการจัดตำแหน่งข้าม ความถูกต้องในการจัดตำแหน่งและประสิทธิภาพในการจัดตำแหน่ง มีรายละเอียดของผลการทดสอบ ดังนี้

4.1 ความสามารถในการซัดเชยพื้นอุบัติ

การทดสอบความสามารถในการซัดเชยพื้นอุบัติ ได้ทำการทดสอบโดยการจัดอุปกรณ์บนเตียงฉายรังสีแบบ 6 มิติ รุ่น HexaPOD™ ผลิตโดยบริษัท Elekta (เดียงชนิดดังกล่าวสามารถจำลองการเอียงของพื้นได้ ไม่เกิน 3 องศา) โดยทดสอบการจัดบนพื้นอุบัติที่แต่ระดับ ได้แก่ 2, 1, 0, -1 และ -2 องศา จากนั้นอ่านค่าตำแหน่งจากตำแหน่งมุมของอุปกรณ์ควบคุมคุณภาพเลเซอร์ภายในห้องฉายรังสี ที่ตอกกระทำบนผิวดังจากจากแสงไฟที่เปิดโดยเครื่องฉายรังสี คำนวนค่า Arctan เพื่อประเมินมุมเอียงของอุปกรณ์ สำหรับการประเมินความสามารถในการซัดเชยพื้นอุบัติจะทำทั้งการจัดอุปกรณ์ตามแนวซ้าย-ขวา และแนวหัว-เท้า แสดงได้ดังภาพที่ 14 มีรายละเอียดของผลการทดสอบดังตารางที่ 2



ภาพที่ 13 ภาพอุปกรณ์เสริมที่ใช้ร่วมกับควบคุมคุณภาพเลเซอร์ภายในห้องฉายรังสีที่ถูกพัฒนาในงานวิจัยนี้โดยที่ในภาพ (g) ลูกล้อมถ่วงน้ำหนักขนาด 200 กรัม และภาพ (h) คือตัดลูกลูกปืนพลาสติกขนาดเล็ก



ภาพที่ 14 การจัดอุปกรณ์ควบคุมคุณภาพเลเซอร์ภายในห้องฉายรังสี ณ. สำนักงาน Isocenter (g) การจัดวางอุปกรณ์ตามแนวข้าม-ข้าว และ (h) การจัดวางอุปกรณ์ตามแนวหัว-เท้า

จากการทดลองพบว่าค่าองศาการเอียงของอุปกรณ์บันทึกนี้อยู่ที่ระดับต่าง ๆ มีค่าใกล้เคียงกัน ซึ่งแสดงให้เห็นว่าการอุปกรณ์ควบคุมคุณภาพเลเซอร์ภายในห้องฉายรังสีที่ถูกออกแบบในงานวิจัยนี้มีผลต่อการปรับความเอียงของอุปกรณ์ให้ตั้งตรงยิ่งขึ้น และมีค่าน้อยกว่าความเอียงของเดียว สำหรับการจัดวางอุปกรณ์ทั้ง 2 แนว(แนวข้าม-ข้าว และ แนวหัว-เท้า) และเมื่อพิจารณาองศาการเอียงของอุปกรณ์พบว่ามีค่าน้อยกว่าเมื่อเปรียบเทียบกับค่าความคลาดเคลื่อนของการเอียงของศานของเดียวของฉายรังสีตามแนวทางปฏิบัติของ AAPM TG-142 คือ 1 องศา ซึ่งมุ่งการเอียงของอุปกรณ์ดังกล่าว มีค่าสูงสุดที่ 0.0149 องศา หรือจากล่าวย่ำได้ว่า อุปกรณ์ควบคุมคุณภาพเลเซอร์ภายในห้องฉายรังสีที่พัฒนาในงานวิจัยนี้ โดยเฉพาะส่วนฐาน มีส่วนที่สามารถดูดเสียงที่น้ำเอียงได้แม้ไม่ใช่ระดับน้ำร่วมกับการจัดตำแหน่งของอุปกรณ์ดังกล่าว นอกจากนี้เมื่อพิจารณาเปรียบเทียบค่าองศาการเอียงของอุปกรณ์ฯ ที่ระดับเดียว 0 องศากับมุ่งต่าง ๆ พบว่ามีค่าใกล้เคียงกัน สำหรับทั้ง 2 แนวของการจัดวางอุปกรณ์ฯ



ภาพที่ 15 ตัวอย่างการอ่านค่าตำแหน่งเงาของมุมอุปกรณ์บนกระดานด้วยกราฟที่ถูกติดตั้งบนพื้นผิวตั้งจากกันพื้น

4.2 ความสามารถในการจัดตำแหน่งช้า

ในการทดสอบความสามารถในการจัดตำแหน่งช้า สามารถประเมินการกระจายของความคลาดเคลื่อนในการจัดตำแหน่ง โดยการประเมินค่าส่วนเบี่ยงเบนมาตรฐานของสามแนวการเคลื่อนที่ได้แก่ แนวซ้าย-ขวา แนวหัว-เท้า และแนวบน-ล่าง ซึ่งใช้ข้อมูลทั้งจากการอ่านค่าตำแหน่งเงาที่ตอกกระหบบนพื้นผิวตั้งจากและประเมินจากความคลาดเคลื่อนของภาพถ่ายที่ได้จากการเอกซเรย์คอมพิวเตอร์แบบลำรังสีรูปgravity จากการทดสอบจุดวางช้าจำนวน 10 ครั้งได้ข้อมูลตั้งกล่าว ดังตารางที่ 3

จากผลในตารางที่ 3 ในส่วนค่าส่วนเบี่ยงเบนมาตรฐานที่ได้จากการประเมินโดยการอ่านค่าตำแหน่งและขนาดของเงาที่ตอกกระหบบนพื้นตั้งจาก ซึ่งการอ่านค่าตำแหน่งในแนวบน-ล่าง และแนวหัว-เท้า จะใช้การอ้างอิงจากตำแหน่งเงามุมของอุปกรณ์ด้านเท้า และในแนวซ้ายขวาจะประเมินจากขนาดความกว้างของเงา ซึ่งได้ทำการประเมินสัดส่วนขนาดของเงาตำแหน่งในแนวซ้าย-ขวาโดยอ่านค่าของเงาเปรียบเทียบกับระยะในแนวซ้าย-ขวาที่ทราบระยะดังรายละเอียดในภาคผนวกที่ 1 ซึ่งพบว่า มีค่า 0.1901, 0.1135 และ 0.0316 สำหรับแนวซ้าย-ขวา แนวหัว-เท้า และแนวบน-ล่าง ตามลำดับ ขณะที่การประเมินโดยใช้ภาพถ่ายที่ได้จากการเอกซเรย์คอมพิวเตอร์แบบลำรังสีรูปgravity มีค่าส่วนเบี่ยงเบนมาตรฐานเท่ากับ 0.0187, 0.0135 และ 0.022 สำหรับแนวซ้าย-ขวา แนวหัว-เท้า และแนวบน-ล่างตามลำดับ

ซึ่งแสดงให้เห็นว่าความสามารถในการจำตำแหน่งช้าโดยการใช้การอ่านค่าขนาดของเงาแสดงการกระจายของข้อมูลที่มากกว่าการประเมินโดยใช้ภาพถ่ายจากเอกซเรย์คอมพิวเตอร์แบบลำรังสีรูป gravity เนื่องจากการความละเอียดของข้อมูลทางของตารางของกระดานด้วยกราฟที่ใช้ในการทดลองนี้มีความละเอียดเพียง 1 มิลลิเมตร ซึ่งทำให้ค่าที่อ่านได้มีมากกว่าข้อมูลที่ได้จากการถ่ายที่ได้จากการเอกซเรย์คอมพิวเตอร์แบบลำรังสีรูปgravity ซึ่งเป็นการอ่านค่าระยะในโปรแกรมวิเคราะห์ตำแหน่งซึ่งมีความละเอียดสูงกว่า

ตารางที่ 2 ตารางแสดงค่าเฉลี่ยองศากรอสูปกรณ์ควบคุมคุณภาพเลเซอร์ภายในห้องฉายรังสีเมื่อถูกจัดวางบนพื้นเดียวกันระดับต่าง ๆ

	องศาเดียว	องศาเฉลี่ย	ส่วนเบี่ยงเบน
	ฉายรังสี	(องศา)	มาตรฐาน
การจัดอุปกรณ์	2	0.0043	0.0064
ตามแนวข้าม-	1	0.0021	0.0037
ขวา	0	0.0127	0.0000
	-1	0.0170	0.0037
	-2	0.0106	0.0037
	2	0.0000	0.0000
การจัดอุปกรณ์	1	0.0021	0.0037
ตามแนวหัว-เท้า	0	0.0064	0.0000
	-1	0.0127	0.0000
	-2	0.0149	0.0037

ตารางที่ 3 แสดงค่าส่วนเบี่ยงเบนมาตรฐานของ 3 แนวการเคลื่อนที่ จาก 2 วิธีการทดสอบความสามารถในการทำซ้ำของการจัดอุปกรณ์ฯ

วิธีการทดสอบ	ส่วนเบี่ยงเบนมาตรฐาน		
	แนวข้าม-ขวา	แนวหัว-เท้า	แนวบน-ล่าง
ตำแหน่งเดียวกันกับภาพกราฟ	0.1901	0.1135	0.0316
ภาพภายนอกเครื่องคอมพิวเตอร์แบบจำลอง	0.0187	0.0135	0.0220

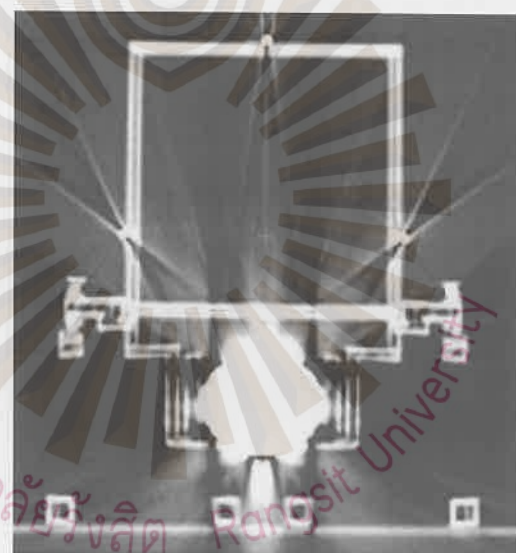
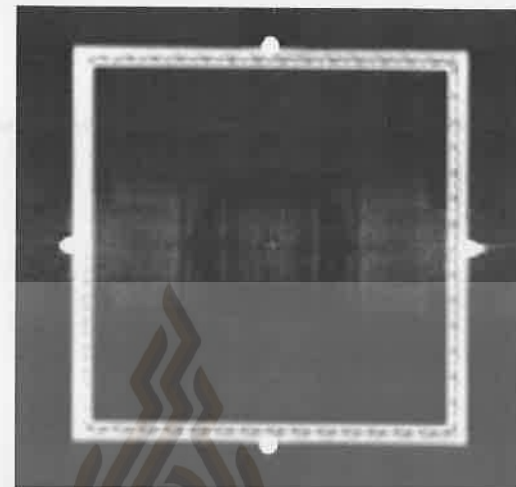
4.3 ความถูกต้องในการจัดตำแหน่ง

การทดสอบความถูกต้องในการจัดตำแหน่ง สามารถประเมินได้จากค่าความคลาดเคลื่อนของภาพถ่ายที่ได้จากการเอกซเรย์คอมพิวเตอร์แบบจำลองสูปกรณ์กับภาพถ่ายตั้งต้นจากการเอกซเรย์คอมพิวเตอร์ด้วยเครื่องจำลองการรักษาแบบสามมิติดังภาพที่ 16 ซึ่งในการเปรียบเทียบจะใช้โปรแกรมเปรียบเทียบอัตโนมัติเพื่อหาค่าดังกล่าว ซึ่งภาพตัวอย่างของโปรแกรมดังกล่าวแสดงได้ดังภาพที่ 17 ในการศึกษานี้ได้จัดตำแหน่งจำนวน 10 ครั้ง และได้ค่าเฉลี่ยของความคลาดเคลื่อนของการจัดตำแหน่งในแต่ละแนวการเคลื่อนที่ได้แก่ แนวข้าม-ขวา แนวหัว-เท้า และแนวบน-ล่าง ซึ่งแสดงดังตารางที่ 4

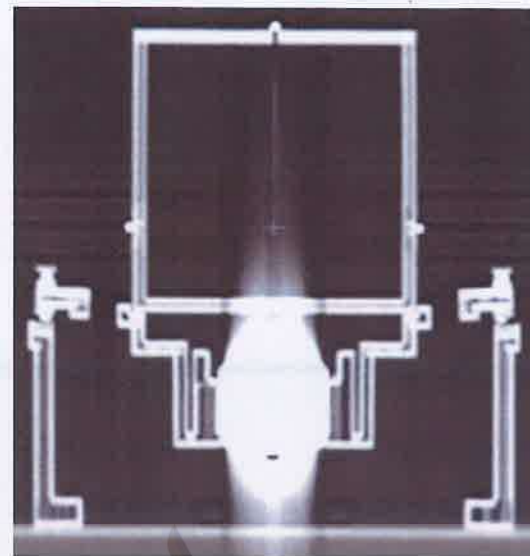
จากการทดลองในตารางที่ 4 พบว่าค่าเฉลี่ยความคลาดเคลื่อนของการจัดตำแหน่งมีค่าน้อยกว่า 1 มิลลิเมตรสำหรับแนวการเคลื่อนที่ในแนวข้าม-ขวา และแนวหัว-เท้า ขณะที่แนวบน-ล่างมีค่าเฉลี่ยความคลาดเคลื่อนของการจัดตำแหน่งมีค่ามากกว่า 1 มิลลิเมตร

ตารางที่ 4 แสดงค่าเฉลี่ยของความคลาดเคลื่อนของการจัดตำแหน่งในแต่ละแนวการเคลื่อนที่
ค่าเฉลี่ย (เซนติเมตร)

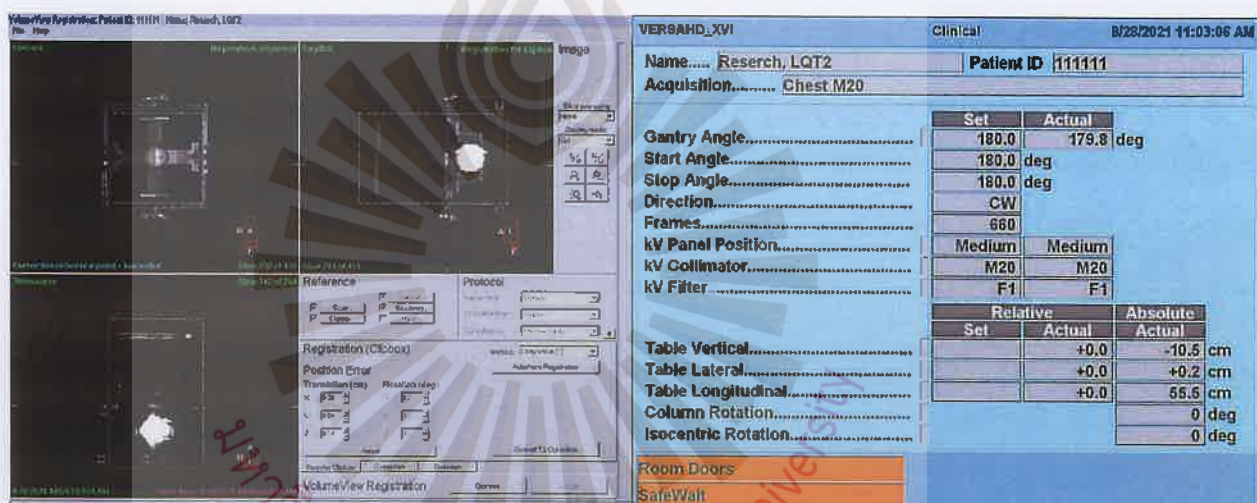
แนวซ้าย-ขวา	แนวหัว-เท้า	แนวบน-ล่าง
0.062	0.054	0.142



มหาวิทยาลัยรังสิต Rangsit University



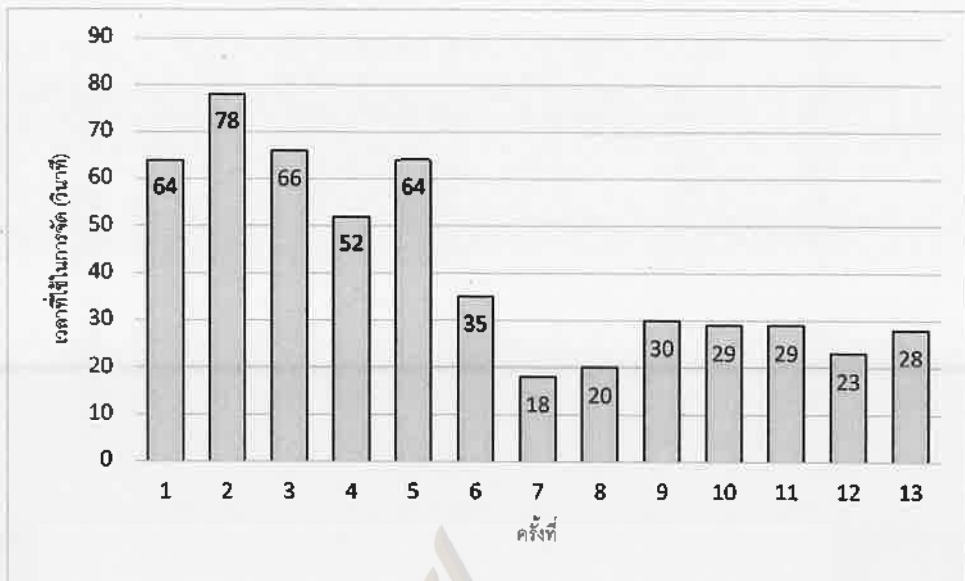
ภาพที่ 16 ภาพเอกซเรย์คอมพิวเตอร์ของอุปกรณ์ควบคุมภาพภายในห้องฉายรังสี ในมุมมองต่าง ๆ ได้แก่ ก) แนว coronal ข) แนว sagittal และ ค) แนว axial



ภาพที่ 17 ภาพโปรแกรมเบรย์บัดในมติ โดยค่าความคลาดเคลื่อนของการจัดตำแหน่งแต่ละครั้ง จะได้สังเกตได้จากส่วน position error

4.4 ประสิทธิภาพในการจัดตำแหน่ง

ประสิทธิภาพในการจัดตำแหน่งจะถูกพิจารณาจากการจับเวลาการจัดตำแหน่งอุปกรณ์แต่ละครั้ง โดยจะสูงตำแหน่งตั้งต้นของอุปกรณ์ในระยะห่างไม่เกิน 20 เซนติเมตรจากตำแหน่ง isocenter ซึ่งค่าเวลาตั้งกล่าวจะบันทึกระหว่างการทดสอบในประเด็นอื่น ๆ ที่จำเป็นต้องจัดตำแหน่งไปยัง isocenter ซึ่งมีการบันทึกเวลา ได้ 13 ครั้งจากการจัดตำแหน่ง 20 ครั้ง มีค่าอยู่ระหว่าง 18 ถึง 78 วินาที แสดงได้ดังแผนภูมิที่ 1



แผนภูมิที่ 1 เปรียบเทียบเวลาในการจัดทำแผนอุปกรณ์ฯ แต่ละครั้ง

จากข้อมูลที่ได้จากการทดลอง เวลาในการจัดทำแผนอุปกรณ์ฯ เฉลี่ย คือ 41.23 วินาที มีค่าส่วนเบี่ยงเบนมาตรฐานเท่ากับ 20.58 วินาที นอกจากนี้ข้อมูลจากกราฟที่ 1 ยังแสดงให้เห็นถึงการพัฒนาในการจัดอุปกรณ์ที่หากมีการใช้งานขึ้นจำนวนครั้งที่มากขึ้น อาจสร้างความคล่องตัวและส่งผลต่อการลดเวลาในการจัดทำแผนของอุปกรณ์ฯ ลง

4.5 ผลการวิเคราะห์ค่าสถิติ

4.5.1 ผลการวิเคราะห์ทางสถิติของผลการทดสอบความสามารถในการจัดทำแผนเพื่อเขียน

จากผลการทดสอบความสามารถในการจัดทำแผนเพื่อเขียน ของทั้ง 2 แนวการจัดวางคือ ตามแนวซ้าย-ขวา และตามแนวหัว-หัว ได้นำข้อมูลมาทดสอบว่าค่าเฉลี่ยมุขของอุปกรณ์จากการตั้งค่าองศาเรียงของเตียงชายรังสีที่แตกต่างต่างกันมีค่าเท่ากันหรือไม่ โดยใช้สถิติทดสอบ one-way ANOVA ที่ระดับความเชื่อมั่น 95% พบร่วมมีค่าองศาการเรียงของอุปกรณ์ฯ จากทั้ง 2 แนวการจัดวางบนระดับเตียงที่แตกต่างกัน มีค่าแตกต่างกันอย่างมีนัยสำคัญ ซึ่งหากอุปกรณ์มีความสามารถในการจัดทำแผนเพื่อเขียนจริงควรมีค่าความเรียงไม่แตกต่างกันเมื่อพื้นที่เรียงต่างกัน

4.5.2 ผลการวิเคราะห์ทางสถิติของผลการทดสอบความถูกต้องในการจัดทำแผน

จากผลการทดสอบความถูกต้องในการจัดทำแผน ได้นำข้อมูลมาทดสอบเพื่อหาว่าค่าความคลาดเคลื่อนที่เกิดขึ้นมีค่าใกล้เคียงกับ 0 หรือไม่ โดยใช้ t-test โดยกำหนดระดับความเชื่อมั่นที่ 95 % พบร่วมมีค่าแตกต่างกันอย่างมีนัยสำคัญในทุกทิศทางการเคลื่อนที่ของการจัดวาง

4.5.3 ผลการวิเคราะห์ทางสถิติของผลการทดสอบประสิทธิภาพในการจัดทำแผน

จากผลการทดสอบประสิทธิภาพในการจัดทำแผน ได้นำข้อมูลเวลาในการจัดทำแผนของอุปกรณ์ฯ ที่พัฒนาในงานวิจัยนี้ มาทดสอบเพื่อเปรียบเทียบกับเวลาในการจัดทำแผนของอุปกรณ์ทั่วไป (ประมาณค่าเวลาในการจัดอุปกรณ์ฯ ทั่วไปที่ 3 นาที) โดยใช้ t-test ที่ระดับความเชื่อมั่น 95 % พบร่วมมีค่าแตกต่างกันอย่างมีนัยสำคัญ ซึ่งหากอุปกรณ์ที่พัฒนาในงานวิจัยนี้มีค่าน้อยกว่าเวลาในการจัดทำแผนของอุปกรณ์ทั่วไปอย่างมีนัยสำคัญ

บทที่ 5
สรุป วิจารณ์ และข้อเสนอแนะ

สรุป

อุปกรณ์ควบคุมคุณภาพเลเซอร์ที่พัฒนาในงานวิจัยนี้

- มีความสามารถในการชดเชยพื้นเรียงได้ โดยสามารถลดความล้าดเฉียงจากพื้นเรียงไม่เกิน 2 องศา ให้เหลือน้อยกว่า 0.0015 องศา แต่ค่าที่ได้จะยังไม่มีนัยสำคัญทางสถิติ โดยมีค่า p-value < 0.05 ทั้ง แนวข่าย-ขวาและแนวหัว-เท้าของการวัดอุปกรณ์ ที่ระดับความเชื่อมั่นร้อยละ 95
- มีความสามารถในการทำข้าโดยที่มีค่าส่วนเบี่ยงเบนมาตรฐานของตัวแหน่งน้อยกว่า 0.3 มิลลิเมตร ในทุกแนวการเคลื่อนที่
- มีค่าความถูกต้องในการจัดตัวแหน่ง โดยมีความผิดพลาดน้อยกว่า 0.5 มิลลิเมตร ในแนวข่าย-ขวา และแนวหัว-เท้า แต่สำหรับแนวบน-ล่างพบว่า ค่าความผิดพลาดมากกว่า 1 มิลลิเมตร ซึ่งยังไม่เพียงพอต่อการนำไปใช้ในโรงพยาบาล โดยสอดคล้องกับการวิเคราะห์ทางสถิติที่พบว่าค่าที่ได้ยังแตกต่างกับตัวแหน่งเดียวกัน 0 องศาอย่างมีนัยสำคัญทางสถิติ โดยมีค่า p-value < 0.05 ที่ระดับความเชื่อมั่นร้อยละ 95
- ใช้เวลาในการจัดตัวแหน่ง เฉลี่ยประมาณ 41.23 วินาที ซึ่งน้อยกว่าเวลาในการจัดตัวแหน่งของอุปกรณ์ทั่วไปอย่างมีนัยสำคัญทางสถิติ โดยมีค่า p-value < 0.05 ที่ระดับความเชื่อมั่นร้อยละ 95

วิจารณ์ผลการทดลอง

อุปกรณ์ควบคุมคุณภาพเลเซอร์ที่พัฒนาในงานวิจัยนี้ ถูกสร้างขึ้นโดยเทคโนโลยีการพิมพ์สามมิติด้วยการใช้เทคนิคการปล่อยเส้นพลาสติกในลักษณะที่เป็นสถาณะกึงของเหลว และรองรับวัตถุประสงค์ของการออกแบบ โดยอุปกรณ์ที่ออกแบบจากเทคโนโลยีข้างต้นมีความสามารถในการชดเชยพื้นเรียงซึ่งเป็นคุณสมบัติสำคัญที่ส่งผลต่อความถูกต้องในการจัดตัวแหน่ง ประกอบกับยังมีความสามารถในการจัดตัวแหน่งซ้ำ และมีผลให้การจัดอุปกรณ์ใช้เวลาในการจัดตัวแหน่งลดลงได้

แต่เมื่อนำผลการทดลองที่ได้มาวิเคราะห์ทางสถิติ พบร่วงไม่มีนัยสำคัญทางสถิติในหลายประเด็น ทั้งนี้ อาจมาจาก การพิมพ์สามมิติ โดยกระบวนการนี้ยังคงต้องการการตัดแต่งส่วนค้างยันที่ถูกสร้างขึ้นระหว่างการพิมพ์ ถือทั้งพื้นผิวรอยต่อต่างในส่วนต่างๆ เช่น ส่วนที่ต่อ กับ ลับ ลูกบีบ ปลาสติกที่จำเป็นต้องขัดเพื่อเข้าส่วนตัวนิออก จึงทำให้อุปกรณ์ที่ได้เกิดความไม่สมดุลของน้ำหนักของแต่ละส่วนของอุปกรณ์ ผู้วิจัยได้เพิ่มส่วนถูกตั้งถ่วงน้ำหนักเพื่อชดเชยปัญหาในประเด็นดังกล่าว แม้ว่า อุปกรณ์ที่พัฒนาในงานวิจัยนี้อาจยังไม่เพียงพอที่จะทำให้อุปกรณ์ไม่สามารถชดเชยพื้นเรียงได้อย่าง มีนัยสำคัญ แต่สามารถพัฒนาต่อได้ในอนาคตโดยการทดลองใช้กระบวนการของการพิมพ์สามมิติอีก 1 ที่แนะนำมากยิ่งขึ้น

อย่างไรก็ตามยังพบว่า เมื่อว่างอุปกรณ์ฯ ที่พัฒนาในงานวิจัยนี้บันทึกไว้ที่ 0 องศา ยังคงทำให้เกิดการเขียงของอุปกรณ์เล็กน้อย ซึ่งอาจส่งผลต่อความถูกต้องและความสามารถในการจัดอุปกรณ์ ซ้ำ แต่ในขณะที่การออกแบบส่วนฐานของอุปกรณ์ควบคุมคุณภาพในลักษณะที่ในงานวิจัยนี้ มีส่วน

ช่วยลดเวลาในการทำงาน ทำให้ผู้ปฏิบัติงานสามารถลดภาระงานที่เกี่ยวเนื่องกับการควบคุมคุณภาพ เครื่องจักรรังสีลิงได้

การออกแบบอุปกรณ์ควบคุมคุณภาพระบบเลเซอร์ภายใต้ห้องฉายรังสีในงานวิจัยนี้ แม้ว่าจะช่วยลดขั้นตอนการทำงานที่เกี่ยวกับการควบคุมคุณภาพเครื่องมือ แต่การใช้งานอุปกรณ์ควบคุมคุณภาพระบบเลเซอร์ภายใต้ห้องฉายรังสีที่มีคุณภาพมากกว่าในงานวิจัยนี้ ยังคงมีจำเป็นต้องสอนให้บุคคลภาพอย่างสม่ำเสมอเพื่อไม่ให้เกิดข้อผิดพลาดของอุปกรณ์ฯ จนนำไปสู่การแปลผลที่ผิดพลาด โดยคณะกรรมการฯ เล็งเห็นว่าหากอุปกรณ์ประสนความสำเร็จในการพัฒนา อาจนำไปสู่การปรับรูปแบบการทำงาน โดยใช้อุปกรณ์ฯ ที่พัฒนาในงานวิจัยนี้ในการควบคุมคุณภาพประจำวัน แต่อาจปรับเปลี่ยนให้อุปกรณ์ควบคุมคุณภาพระบบเลเซอร์แบบปรับฐาน (แบบเดิม) ไปใช้เป็นอุปกรณ์ควบคุมคุณภาพชนิดรายสัปดาห์แทน เนื่องจากในขั้นตอนการใช้งานยังคงมีการตรวจสอบการตั้งตระหง่านอุปกรณ์โดยใช้ระดับน้ำโดยตรง ซึ่งมีความแม่นยำมากกว่า และผลการทดสอบระบบเลเซอร์ในห้องฉายรังสีจากอุปกรณ์ฯ ที่จะไปช่วยในการตรวจจับความคลาดเคลื่อนหรือข้อผิดพลาดที่เกิดจากอุปกรณ์ฯ ที่ถูกพัฒนาในงานวิจัยนี้

การออกแบบอุปกรณ์ควบคุมคุณภาพระบบเลเซอร์ภายใต้ห้องฉายรังสีในงานวิจัยนี้ มีความแตกต่างกับอุปกรณ์ควบคุมคุณภาพเลเซอร์โดยทั่วไป ที่นิยมออกแบบเป็นรูปร่างลูกบาศก์ และใช้ร่วมกับฐานวางที่ปรับความเอียงได้โดยใช้การหมุนนอตพลาสติก (QUALITY QUALITY ASSURANCE-GEOMETRIC ASSURANCE-GEOMETRIC ALIGNMENT ALIGNMENT, LASER, n.d.) เช่น อุปกรณ์ควบคุมคุณภาพเลเซอร์ รุ่น IsoCube พร้อมฐานวาง จากบริษัท Radiation Products Design จำกัด รุ่น ISO BASE™ alignment platform ซึ่งมีลักษณะเป็นรูปทรงลูกบาศก์ ติดตั้งบนฐานปรับระดับได้ที่แสดงดังภาพที่ 18 ซึ่งรูปแบบของฐานวางชนิดนี้สามารถปรับระดับเพื่อชดเชยความเอียงได้ เช่นเดียวกับ อุปกรณ์ควบคุมคุณภาพเลเซอร์ที่พัฒนาในงานวิจัยนี้ เมื่อนำไปใช้งานจริงพบว่า เมื่อจัดวางอุปกรณ์ควบคุมคุณภาพระบบเลเซอร์ภายใต้ห้องฉายรังสีในรูปร่างลูกบาศก์ และใช้ร่วมกับฐานวางที่ปรับความเอียงได้โดยใช้การหมุนนอตพลาสติกได้ในตำแหน่งที่ถูกต้องแล้วจะมีความคงตัวมากกว่า และสามารถใช้ข้างอิ่งเพื่อปรับความคลาดเคลื่อนของเลเซอร์จัดตำแหน่งในห้องฉายได้ทันทีหลังการตรวจสอบตำแหน่ง



ภาพที่ 18 แสดงอุปกรณ์ควบคุมคุณภาพเลเซอร์ รุ่น IsoCube พัฒนาขึ้นจากบริษัท Radiation Products Design จำกัด รุ่น ISO BASE™ alignment platform ซึ่งมีลักษณะเป็นรูปทรงลูกบาศก์ ติดตั้งบนฐานปรับระดับได้(QUALITY QUALITY ASSURANCE-GEOMETRIC ASSURANCE-GEOMETRIC ALIGNMENT ALIGNMENT, LASER, n.d.)

ข้อเสนอแนะ

- ควรเปรียบเทียบคุณสมบัติต่าง ๆ ที่ทดสอบในงานวิจัยนี้ กับ อุปกรณ์อุปกรณ์ควบคุมคุณภาพ เลเซอร์ภายในห้องฉายรังสีที่มีการใช้งานจริงในโรงพยาบาลต่าง ๆ
- ควรทดสอบความแม่นยำในการคำนวณค่าความคลาดเคลื่อน และความสามารถในการตรวจจับ ค่าความคลาดเคลื่อนน้อยที่สุด
- ควรทดสอบความพึงพอใจของผู้ใช้งานในกลุ่มนักธุรกิจสื่อสารมวลชนและนักพัฒนาซอฟต์แวร์ที่ปฏิบัติงานด้านรังสีรักษา เพื่อหาจุดบกพร่องและแก้ไขเพื่อให้อุปกรณ์อุปกรณ์ควบคุมคุณภาพ เลเซอร์ภายในห้องฉายรังสีที่พัฒนาในงานวิจัยนี้สามารถใช้งานได้อย่างสอดคล้องกับความต้องการของผู้ปฏิบัติงานมากยิ่งขึ้น

เอกสารอ้างอิง

- Arts, J. K., Bailey, M. J., Bannister, K., Lee, M., & Holloway, L. (2006). Investigation into the impact of couch sag on delivered dose. *Australasian Physics & Engineering Sciences in Medicine*, 29(3), 241–250. <https://doi.org/10.1007/BF03178572>
- Brezovich, I. A., & Jordan, S. (2007). A device for precision positioning and alignment of room lasers to diminish their contribution to patient setup errors. *Journal of Applied Clinical Medical Physics*, 8(4), 45–53. <https://doi.org/10.1120/jacmp.v8i4.2398>
- Hwang, U.-J., Jo, K., Lim, Y. K., Kwak, J. W., Choi, S. H., Jeong, C., Kim, M. Y., Jeong, J. H., Shin, D., Lee, S. B., Park, J.-H., Park, S. Y., & Kim, S. (2016). A new method and device of aligning patient setup lasers in radiation therapy. *Journal of Applied Clinical Medical Physics*, 17(1), 49–61. <https://doi.org/10.1120/jacmp.v17i1.5527>
- ISO Cube Daily QA Phantom: Data sheet.* (n.d.). CIRS. <http://www.cirsinc.com/wp-content/uploads/2020/07/023-v-2.2-DS-072020.pdf>
- Klein, E. E., Hanley, J., Bayouth, J., Yin, F.-F., Simon, W., Dresser, S., Serago, C., Aguirre, F., Ma, L., Arjomandy, B., Liu, C., Sandin, C., & Holmes, T. (2009). Task Group 142 report: Quality assurance of medical accelerators(a): Task Group 142 Report: QA of Medical Accelerators. *Medical Physics*, 36(9Part1), 4197–4212. <https://doi.org/10.1118/1.3190392>
- Kutcher, G. J., Coia, L., Gillin, M., Hanson, W. F., Leibel, S., Morton, R. J., Palta, J. R., Purdy, J. A., Reinstein, L. E., Svensson, G. K., Weller, M., & Wingfield, L. (1994). Comprehensive QA for radiation oncology: Report of AAPM Radiation Therapy Committee Task Group 40. *Medical Physics*, 21(4), 581–618. <https://doi.org/10.1118/1.597316>
- NHS GRAMPIAN CHARITIES. (2018, July 9). *New lasers for radiotherapy*. <https://www.nhsgcharities.com/2018/07/19/new-lasers-for-radiotherapy/NHS Grampian Endowment Fund, Westholme, Woodend Hospital, Aberdeen>
- Podgoršak, E. B., & International Atomic Energy Agency (Eds.). (2005). *Radiation oncology physics: A handbook for teachers and students*. International Atomic Energy Agency.
- QUALITY QUALITY ASSURANCE-GEOMETRIC ASSURANCE-GEOMETRIC ALIGNMENT ALIGNMENT, LASER.** (n.d.). Radiation Product design, Inc. https://www.rpdinc.com/2019-U-Quality_Assurance_Geometric_Alignment_Laser.pdf#page=21
- Rohringer, S. (2020, February 6). *2020 3D prontor filament buyer's guide*. <https://all3dp.com/1/3d-printer-filament-types-3d-printing-3d-filament/>

RT ALIGN ROTATE specification sheet. (n.d.). Leeds test object.

<https://www.leedstestobjects.com/wp-content/uploads/RT-ALIGN-ROTATE-product-specifications.pdf?x49446>

Shahrubudin, N., Lee, T. C., & Ramlan, R. (2019). An Overview on 3D Printing Technology: Technological, Materials, and Applications. *Procedia Manufacturing*, 35, 1286–1296.
<https://doi.org/10.1016/j.promfg.2019.06.089>



ประวัติผู้วิจัย

คำนำหน้า	นาย
ตำแหน่งทางวิชาการ	อาจารย์
ชื่อผู้วิจัย	กฤษณ์
นามสกุลผู้วิจัย	อุทาพوم
ชื่อภาษาอังกฤษ	Kitsana
นามสกุลภาษาอังกฤษ	Utapom
วัน เดือน ปี เกิด	11 กุมภาพันธ์ 2533
ที่อยู่ (บ้าน)	125 หมู่ 6 ต. บ้านกร่าง อ. ศรีประจันต์
จังหวัด (บ้าน)	จ. สุพรรณบุรี
รหัสไปรษณีย์ (บ้าน)	72140
โทรศัพท์ (บ้าน)	-
โทรศัพท์ (บ้าน)	-
ที่อยู่ (ที่ทำงาน)	คณะรังสีเทคนิค มหาวิทยาลัยรังสิต อาคาร 10 ชั้น 10 เลขที่ 52/347 ซอยพหลโยธิน 87 ถนนพหลโยธิน อำเภอเมืองปทุมธานี
จังหวัด (ที่ทำงาน)	จังหวัดปทุมธานี
รหัสไปรษณีย์ (ที่ทำงาน)	12000
โทรศัพท์ (ที่ทำงาน)	0-2997-2200-30 ต่อ 1704-1711
โทรศัพท์ (ที่ทำงาน)	-
E-mail Address	Kitsana.u@rsu.ac.th
ปริญญาตรี	วิทยาศาสตรบัณฑิต เกียรตินิยม อันดับ 2
สาขา	รังสีเทคนิค
ปีที่จบ	2556
สถานบัน	มหาวิทยาลัยนเรศวร (คณะสหเวชศาสตร์)
ประเทศ	ไทย
ปริญญาโท	วิทยาศาสตรมหาบัณฑิต
สาขา	พิสิกส์การแพทย์
ปีที่จบ	2561
สถานบัน	มหาวิทยาลัยมหิดล (คณะแพทยศาสตร์โรงพยาบาลรามาธิบดี)
ประเทศ	ไทย

ผลงานวิจัยที่ตีพิมพ์ใน วารสารต่างประเทศ	1. Posterior KV-CBCT scanning of the head and neck region minimizes doses to critical organs with sustained image quality
สาขาวิจัยที่นักวิจัย เชี่ยวชาญ	Radiation therapy Dosimetry Quality assurance in radiation therapy Monte Carlo simulation



ประวัติผู้วิจัย

คำนำหน้า	นาย
ตำแหน่งทางวิชาการ	อาจารย์
ชื่อผู้วิจัย	ธนพัฒน์
นามสกุลผู้วิจัย	ช่องสาร
ชื่อภาษาอังกฤษ	Thanaphat
นามสกุลภาษาอังกฤษ	Chongsran
วัน เดือน ปี เกิด	14 กรกฎาคม 2529
ที่อยู่ (บ้าน)	อาคารชุด "แอลสปาย รัตนเรืองศรี 2" อาคารเอส (ปี) ชั้น 18 เลขที่ 185/1212 ถนนรัตนเรืองศรี ตำบลบางกระสอ อำเภอเมืองนonthaburi
จังหวัด (บ้าน)	จังหวัดนonthaburi
รหัสไปรษณีย์ (บ้าน)	11000
โทรศัพท์ (บ้าน)	08 6846 5074
โทรศัพท์ (บ้าน)	-
ที่อยู่ (ที่ทำงาน)	คณะรังสีเทคนิค มหาวิทยาลัยรังสิต อาคาร 10 ชั้น 10 เลขที่ 52/347 ซอยพหลโยธิน 87 ถนนพหลโยธิน อำเภอเมืองปทุมธานี
จังหวัด (ที่ทำงาน)	จังหวัดปทุมธานี
รหัสไปรษณีย์ (ที่ทำงาน)	12000
โทรศัพท์ (ที่ทำงาน)	0-2997-2200-30 ต่อ 1704-1711
โทรศัพท์ (ที่ทำงาน)	-
E-mail Address	Thanaphat.C@rsu.ac.th
ปริญญาตรี	วิทยาศาสตรบัณฑิต เกียรตินิยม อันดับ 2
สาขา	รังสีเทคนิค
ปีที่จบ	2553
สถาบัน	มหาวิทยาลัย雷州 (คณะแพทยศาสตร์)
ประเทศ	ไทย
ปริญญาโท	วิทยาศาสตรมหาบัณฑิต
สาขา	พิสิกส์การแพทย์
ปีที่จบ	2559
สถาบัน	มหาวิทยาลัยมหิดล (คณะแพทยศาสตร์โรงพยาบาลรามาธิบดี)

ประเทศไทย	ไทย
ผลงานวิจัยที่ตีพิมพ์ใน วารสารต่างประเทศ	<i>Chongsan T., Liamsuwan T., Tangboonduangjit P. (2016). Dosimetric investigation of proton therapy on CT-based patient data using Monte Carlo simulation. J. Phys.: Conf. Ser. 694 012021, 1-5. https://doi.org/10.1088/1742-6596/694/1/012021</i>
สาขาวิจัยที่นักวิจัย เชี่ยวชาญ	Radiation Protection Radiation Physics Radiotherapy Quality Assurance of Radiotherapy



ประวัติผู้วิจัย

คำนำหน้า	นาย
ตำแหน่งทางวิชาการ	อาจารย์
ชื่อผู้วิจัย	ศิวพล
นามสกุลผู้วิจัย	หมันสิงห์
ชื่อภาษาอังกฤษ	Siwapon
นามสกุลภาษาอังกฤษ	Munsing
วัน เดือน ปี เกิด	16 กุมภาพันธ์ 2533
ที่อยู่ (บ้าน)	133 หมู่ 3 ต.โพธิ์ไทร อ.ดอนตาล จ.มุกดาหาร
จังหวัด (บ้าน)	จ. มุกดาหาร
รหัสไปรษณีย์ (บ้าน)	49120
โทรศัพท์ (บ้าน)	-
โทรศัพท์ (บ้าน)	-
ที่อยู่ (ที่ทำงาน)	99 หมู่ 9 คณะแพทยศาสตร์ โรงพยาบาลรามาธิบดี มหาวิทยาลัยมหิดล ต.ท่า โพธิ์ อ.เมือง จ.พิษณุโลก
จังหวัด (ที่ทำงาน)	จ.พิษณุโลก
รหัสไปรษณีย์ (ที่ทำงาน)	65000
โทรศัพท์ (ที่ทำงาน)	055-965583
โทรศัพท์ (ที่ทำงาน)	-
E-mail Address	Siwaponm@nu.ac.th
ปริญญาตรี	วิทยาศาสตรบัณฑิต เกียรตินิยม อันดับ 1
สาขา	รังสีเทคนิค
ปีที่จบ	2556
สถาบัน	มหาวิทยาลัยมหิดล (คณะแพทยศาสตร์โรงพยาบาลรามาธิบดี)
ประเทศ	ไทย
ปริญญาโท	วิทยาศาสตรมหาบัณฑิต
สาขา	พิสิกส์การแพทย์
ปีที่จบ	2561
สถาบัน	มหาวิทยาลัยมหิดล (คณะแพทยศาสตร์โรงพยาบาลรามาธิบดี)
ประเทศ	ไทย
ผลงานวิจัยที่ตีพิมพ์ใน วารสารต่างประเทศ	<p>2. Posterior kV-CBCT scanning of the head and neck region minimizes doses to critical organs with sustained image quality</p>

3. The radioprotective potential of Centotheca lappacea
(L) desv. extract in human endothelial cell

สาขาวิชยที่นักวิจัย
เต็มเวลา

Radiation therapy

Dosimetry

Quality assurance in radiation therapy

Monte Carlo simulation

